

feramと 強誘電体①

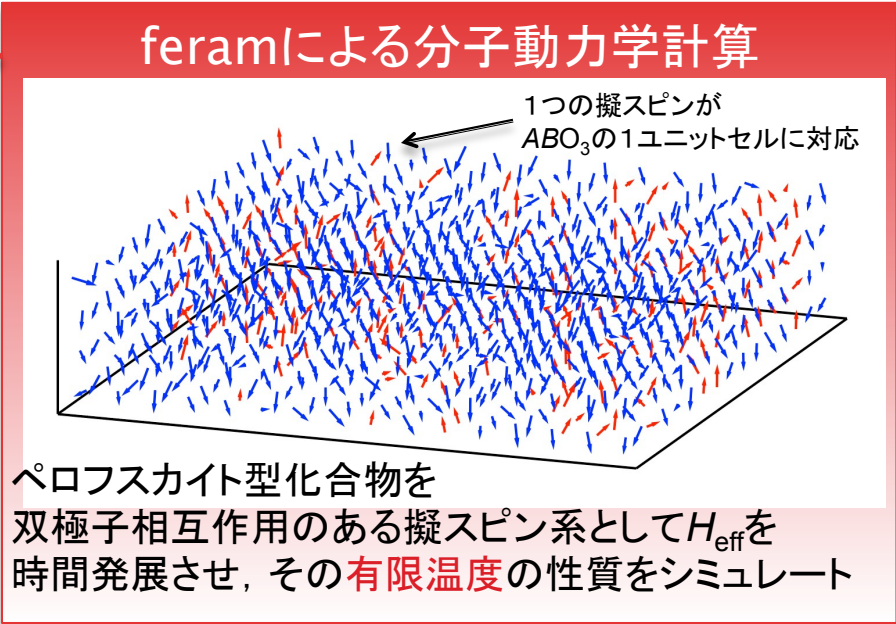
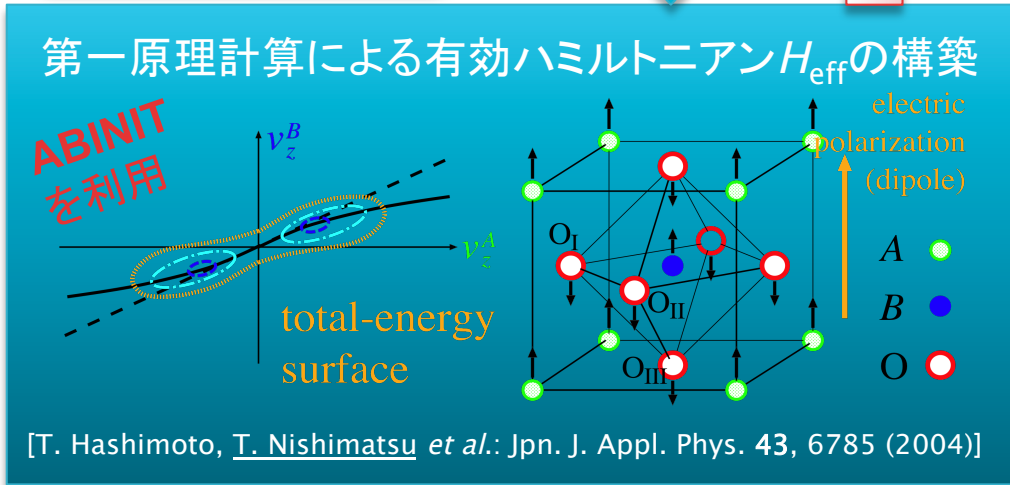
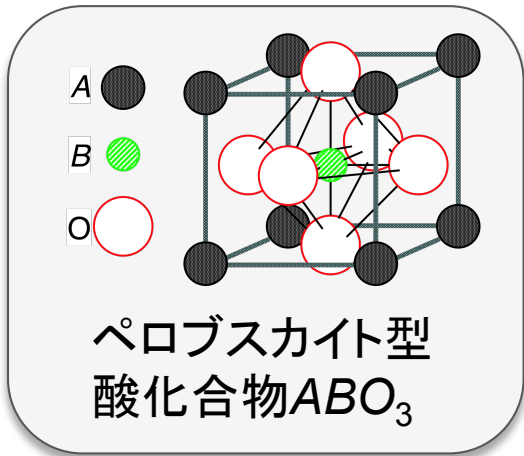
東北大学金属材料研究所 西松毅

t-nissie@imr.tohoku.ac.jp

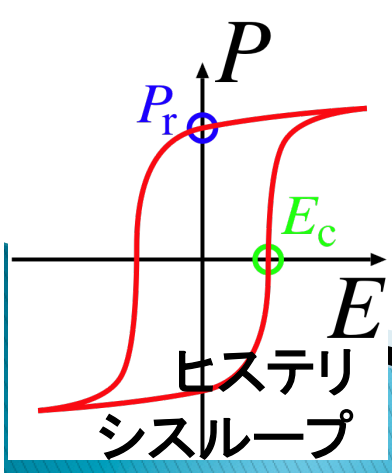
自己紹介とferamの開発の経緯

- ▶ **東北大理学部物理** crd2txt.exeをakiu.gwから公開
 - ftp.tohoku.ac.jp:/pub/Windows/Util/crd2txt/crd2tx10.lzh
- ▶ **2000年** 阪大吉田博研で博士→東北大金研で助教
- ▶ **2003年～** 強誘電体の研究を始める
 - NEC/TOKINからの国内留学生と → 谷底線法を開発(後述)
- ▶ **2004年12月～2005年2月(3ヶ月間)**
 - インド・バンガロールの Jawaharlal Nehru Centre for Advanced Scientific Research (JNCASR) に滞在
 - Umesh V. Waghmare教授らと強誘電体薄膜の研究
 - **feram**の開発を開始、キャパシタのモデル化のアイデア
- ▶ **2006年3月～2008年2月(2年間)**
 - 米国Rutgers大学に滞在
 - David Vanderbilt教授らと強誘電体について研究
- ▶ **2008年9月** やっと自分が書いた論文を出版！

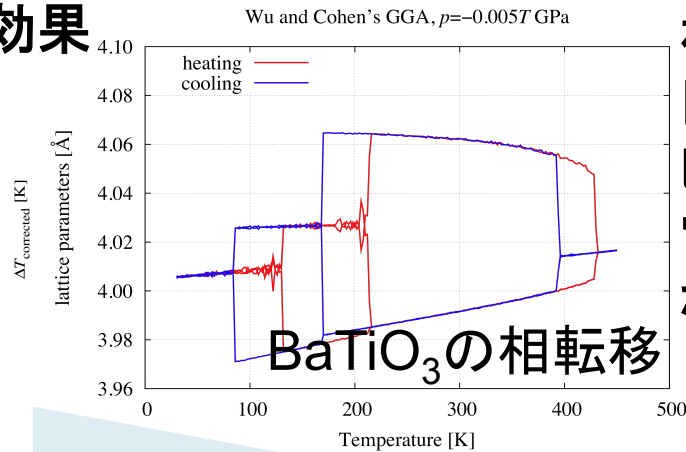
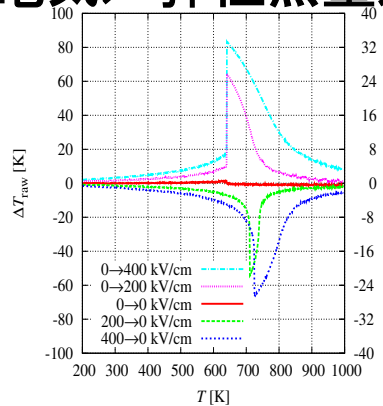
feramを1枚のスライドで紹介: 誘電体のマルチスケールシミュレーション <http://loto.sourceforge.net/feram/>



大規模(> 100 nm), 長時間 (> 100 ns) の計算が可能



電気/弾性熱量効果



相転移や
ドメイン構造,
ヒステリシスループ,
電気/弾性熱量効果
などのシミュレーション

PRL 99, 077601 (2007),
PRB 78, 104104 (2008),
PRB 82, 134106 (2010),
JPSJ 84, 024716 (2015), ...

feramで使われている主な理論の発展

- ▶ R. D. King-Smith and David Vanderbilt: “**First-principles investigation of ferroelectricity in perovskite compounds**”, Phys. Rev. B **49**, 5828 (1994). **全エネルギー表面**.
- ▶ W. Zhong, D. Vanderbilt, and K. M. Rabe: “**First-principles theory of ferroelectric phase transitions for perovskites: The case of BaTiO₃**”, Phys. Rev. B **52**, 6301 (1995). **MC**.
- ▶ U.V. Waghmare, E. J. Cockayne, and B. P. Burton: “**Ferroelectric Phase Transitions in Nano-scale Chemically Ordered PbSc_{0.5}Nb_{0.5}O₃ using a First-principles Model Hamiltonian**”, Ferroelectrics **291**, 187 (2003). **FFTでMD**.
- ▶ Takeshi Nishimatsu, Umesh V. Waghmare, Yoshiyuki Kawazoe and David Vanderbilt: “**Fast molecular-dynamics simulation for ferroelectric thin-film capacitors using a first-principles effective Hamiltonian**”, Phys. Rev. B **78**, 104104 (2008). **キャパシタ**.

feramの概要(1)

- ▶ 強誘電体に特化した高速分子動力学シミュレーター
- ▶ 開発ポリシー MD
 - 論文を読んだ人がシミュレーションを再現できるように
 - KISS (Keep It Short and Simple)
 - 拝借できるものは拝借
 - ライブラリ (FFTW(計算時間の1/3), LAPACK)
 - Autotools (autoconf+automake) → 来週
 - SourceForge.org (Subversionリポジトリ、Webページ、メーリングリスト)
- ▶ ライセンス GNU GPLv3
 - だれでも自由に使ってもらえたらうれしい
 - ついでに論文とURLを引用してくれたらもっとうれしい

feramの概要(2)

- ▶ 現在BaTiO₃, PbTiO₃, KNbO₃のパラメータを同梱
- ▶ 長距離の双極子-双極子相互作用をFFTで高速計算
 - 高速フーリエ変換 (FFT) ライブラリ[FFTW](#)を利用
- ▶ OpenMPで並列化
 - 基本的に1ノードの計算機で高速に走る
- ▶ バルクだけでなく薄膜キャパシタのシミュレーションが可能
- ▶ ./configure && make で簡単なコンパイル
- ▶ Fortran 95/2003 で Object oriented programming (OOP)

feramの行数、開発者数、ユーザ数

2015年11月現在

分類	概数
本体 (Fortran: *.F, *.f, *.h)	5,500行
テスト (Fortran, Shell, Ruby)	1,000行
ツール(Fortran, Shell, Ruby, PostScript, Gnuplot)	1,000行
ドキュメント、他 (configure.ac, Makefile.am, etc.)	5,000行
time (./configure && make -j4) # Core i5, SSD, gfortran6	11.4 秒
開発者	1名
ユーザ(なぜか女性が多い。よいところに就職できる。)	10名
ソースパッケージ feram-0.24.02.tar.xz の大きさ	18.5 MB
リリースしたバージョンの数	40
ダウンロード数	2,000
feramを用いて書かれた論文の数	20本

ソフトウェアの命名法

なぜ `feram` という名前にしたのか

- ▶ 将来的に強誘電体メモリ (FeRAM) の設計にまで使えるようにしたい
- ▶ Search Engine Optimization (SEO) でFeRAMの検索で上位にくるように
- ▶ ぜんぶ小文字、できればCourierで
`feram` ← FeRAM, FRAM[®]と差別化
- ▶ ツール類は`feram_cross_section_q.sh`と
`feram_`で始まるようにしてインストール
先の名前空間に配慮

絶縁体の誘電性による分類

誘電体 (dielectrics)

↑ 高

圧電体 (piezoelectrics)

対称性

焦電体 (pyroelectrics) ↓ 低

強誘電体 (ferroelectrics)

BaTiO₃系やPbZr_xTi_{1-x}O₃系 (PZT) などの強誘電体セラミックスが工業的に優れた性質を持っているので、上記すべての誘電性についての応用製品がある。強誘電体セラミックスは日本のメーカーのシェアが高い割合を占めるものが多い、日本の得意分野。

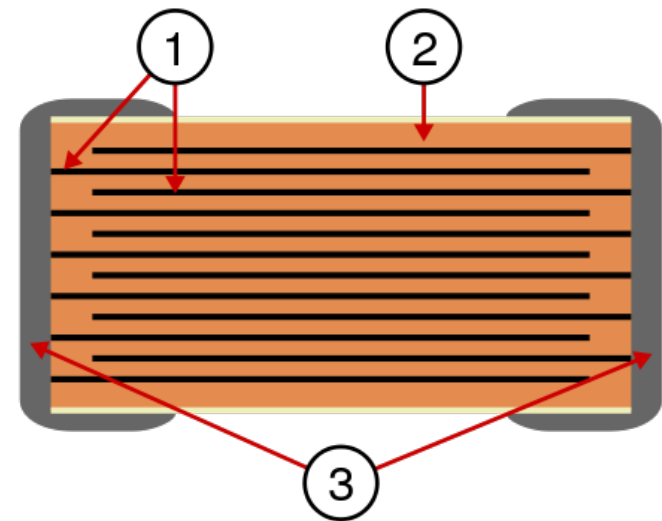
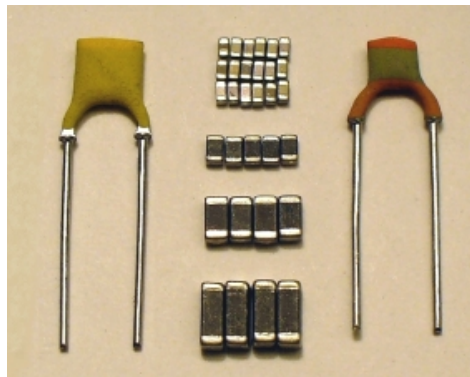
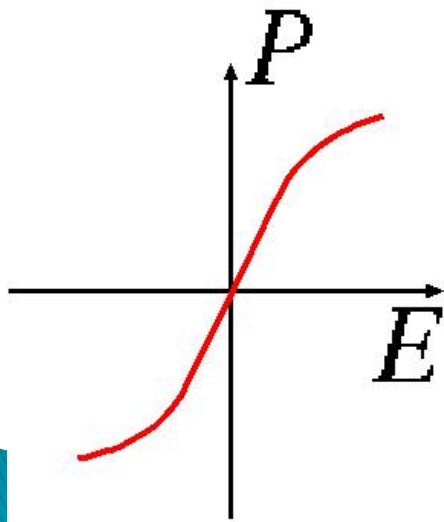
結晶の対称性と圧電性・焦電性

極性	反転対称性	晶族数	結晶系										
			立方		六方		正方		三方 (菱面体)		斜方	単斜	三斜
非極性 結晶 (22)	有 (11)	11	O_h	T_h	D_{6h}	C_{6h}	D_{4h}	C_{4h}	D_{3d}	C_{3i}	D_{2h}	C_{2h}	C_i
	無	11	O T_d	T	D_6 D_{3h}	C_{3h}	D_4 D_{2d}	S_4	D_3		D_2		
極性 (焦電性) 結晶 (10)	無 (21)	10			C_{6v}	C_6	C_{4v}	C_4	C_{3v}	C_3	C_{2v}	C_2 C_6	C_1

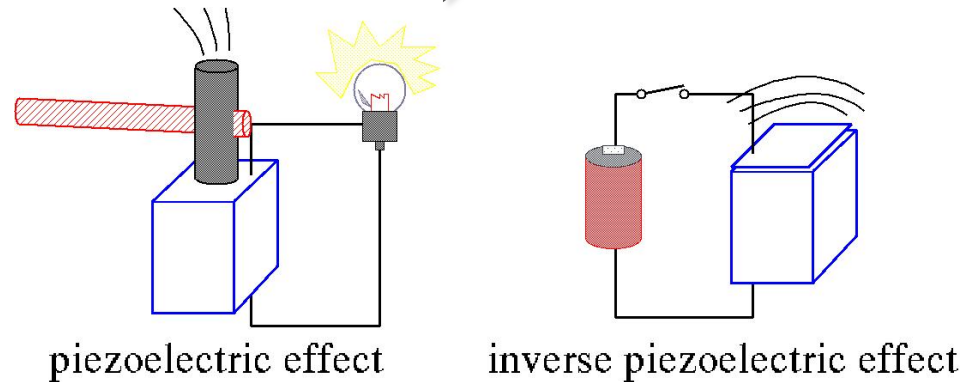
白地: 圧電性結晶 赤字: 焦電性結晶

誘電体 (dielectrics) とは？

- ▶ 電場をかけると分極する
- ▶ 電場をゼロにすると分極もゼロになる
- ▶ 応用：普通のコンデンサー (capacitor)
セラミックコンデンサーは BaTiO_3 系など
- ▶ 応用：コンデンサーマイク (電極間にあるのは空気)



圧電体 (piezoelectrics) とは？



- ▶ 圧電効果(と逆圧電効果)をもつ
- ▶ GaAs (ZnS構造 T_d) など単純な構造でも圧電性はある
- ▶ 応用: 圧力センサー(ランガサイト $\text{La}_3\text{Ga}_5\text{SiO}_{14}$)
- ▶ 水晶振動子 (quartz SiO_2)
- ▶ 圧電スピーカー (PZT、携帯電話に多用されている)
- ▶ セラミック振動子、加速度センサー、ジャイロ (PZT)
- ▶ 超音波画像診断装置、魚群探知機、ソナー
超音波モーター、etc...

圧電体の応用: 圧電スピーカー

圧電スピーカー

muRata

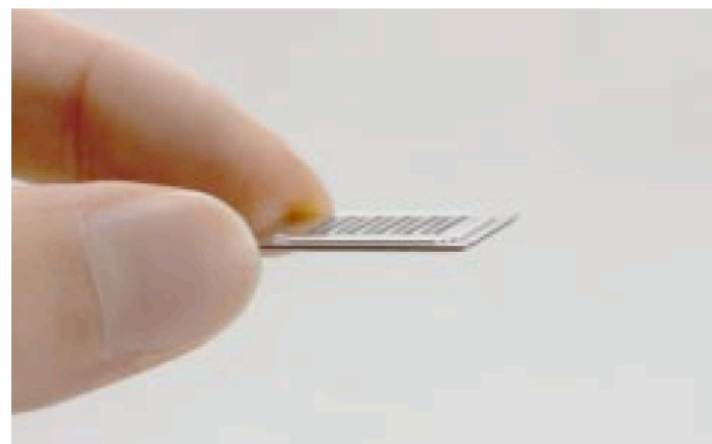
VSLBP/VSLBFシリーズ

■特長

- ・高音質・高音圧を実現した薄型スピーカー
- ・超薄型パッケージ：携帯機器の薄型化に貢献
VSLBPシリーズ：厚み 1.2mm
VSLBFシリーズ：厚み 0.5mm
- ・バッテリー持続時間の向上に貢献
- ・圧電素子駆動のため、電磁ノイズがなく、また砂塵(砂鉄)吸い込みによる音圧の低下もなし
- ・防水対応可能 (IPX7相当)[※]

■用途

携帯電話 / PDA / 携帯音楽プレーヤ / ICレコーダ / DSC 等



村田製作所のカタログ P82J.pdf
2011-06-30 より。下線は西松。

焦電体 (pyroelectrics) とは？

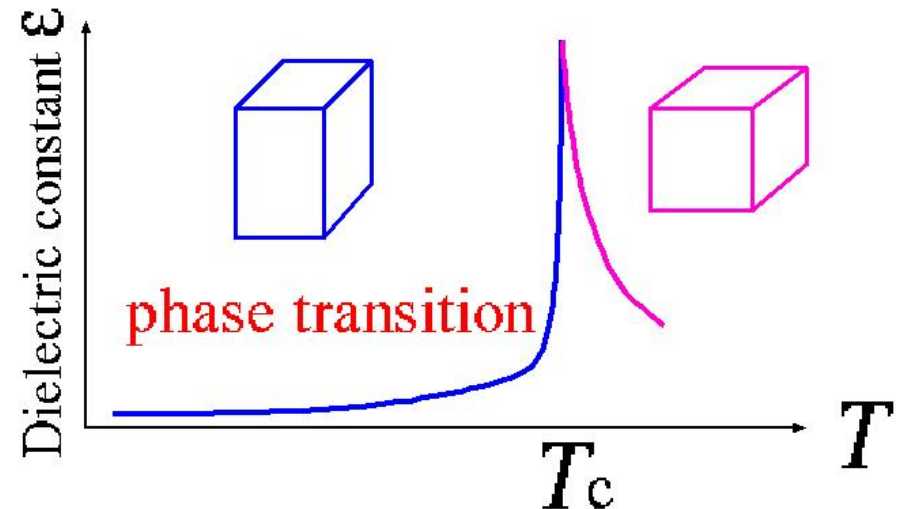
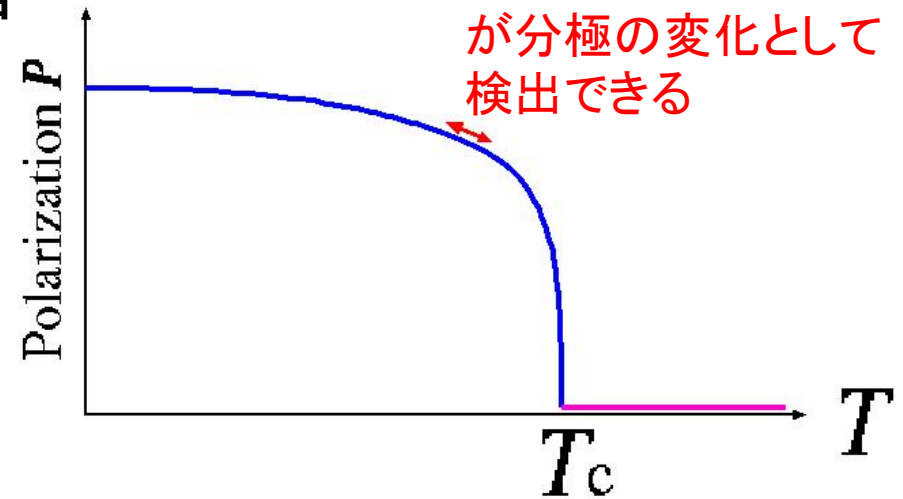
- ▶ 極性(電気分極)のある結晶
- ▶ 光をあてるとその分極がわずかに変化する
- ▶ **応用**: 人感センサー (PZT)



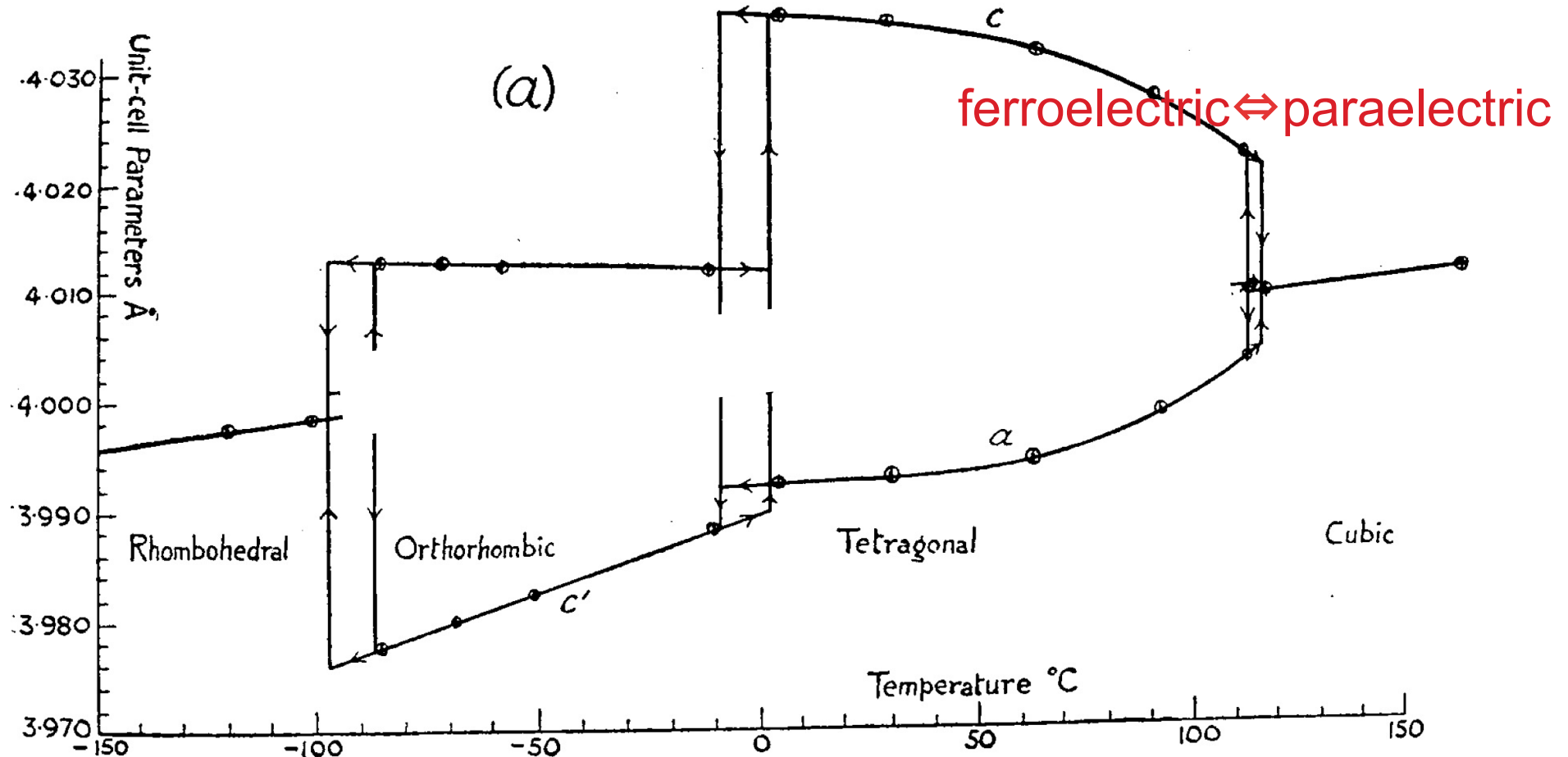
東北大金研の
2階の廊下天井
の照明点灯用
人感センサー

- ▶ さらに電場により分極の反転が可能なものを**強誘電体**と呼ぶ(焦電体と強誘電体との区別は微妙)

赤外線照射などのごく微小な温度変化が分極の変化として検出できる



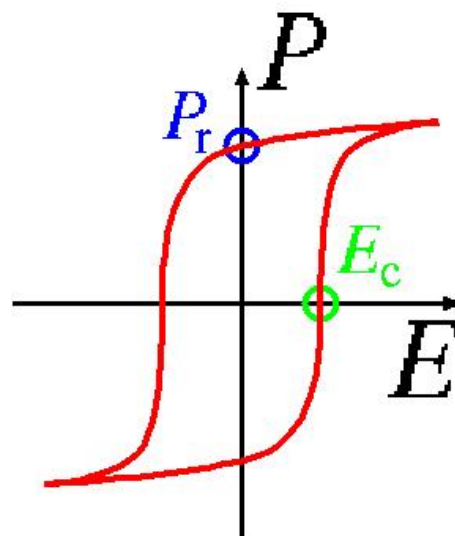
BaTiO₃ (実験値)



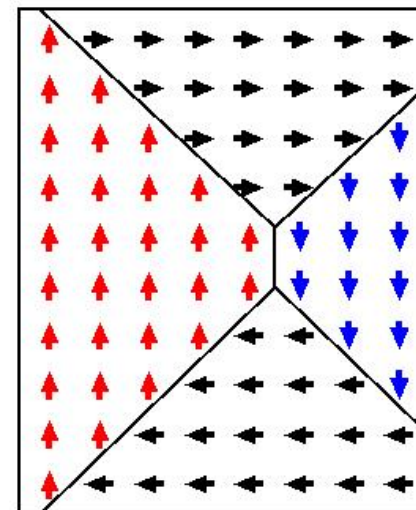
Experimentally observed temperature dependence of lattice constants for BaTiO₃. There are three first-order phase transitions. the cubic to tetragonal phase transition is nearly second-order one. After [H. E. Kay and P. Vousden: Philos. Mag. 40, 1019 (1949)].

強誘電体とは？ ドメイン構造とは？

- ▶ 電場により分極の反転が可能
- ▶ 電場をゼロにしても自発分極が残る

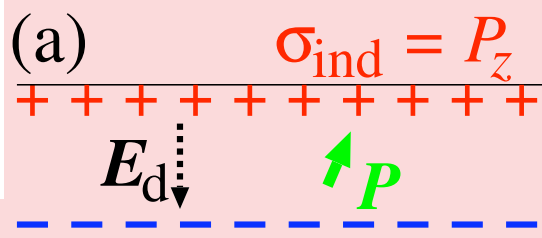


spontaneous polarization

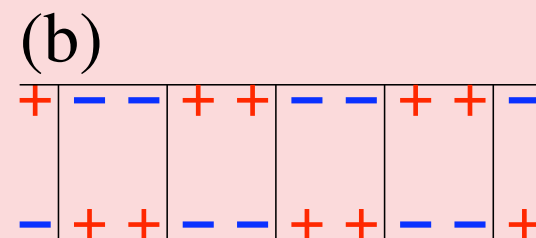


domain structure

- ▶ 双極子相互作用のある有限系ではドメイン構造をとることにより反分極場を小さくして系を安定化させる (ここで「有限系」とは、無限に広がった端のない強誘電体や強磁性体ではないという意味)



$$E_d = -4\pi P_z \hat{z}$$

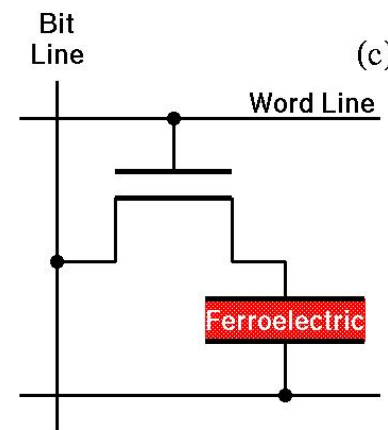
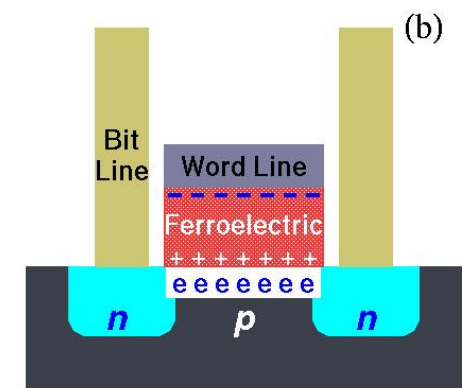
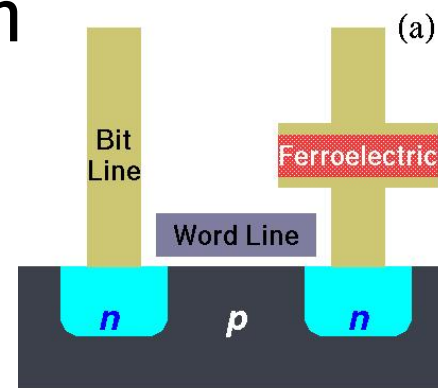


forming domains, reducing E_d

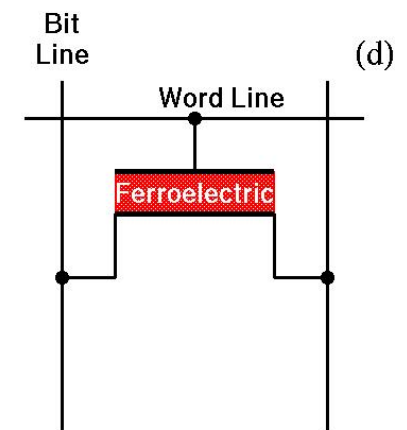
薄膜の場合
(紙面に垂直)

強誘電体メモリー (FeRAM) とは？

- ▶ Ferroelectric Random Access Memory (FeRAM) とは強誘電体薄膜キャパシタのヒステリシスを利用し正負の自発分極を1と0に対応させた不揮発性の半導体メモリー
- ▶ フラッシュ・メモリーより低電圧で動作
- ▶ 高集積・大容量化が進めば
DRAM → FeRAM (高速・不揮発性・リフレッシュ不要)



1T1C type

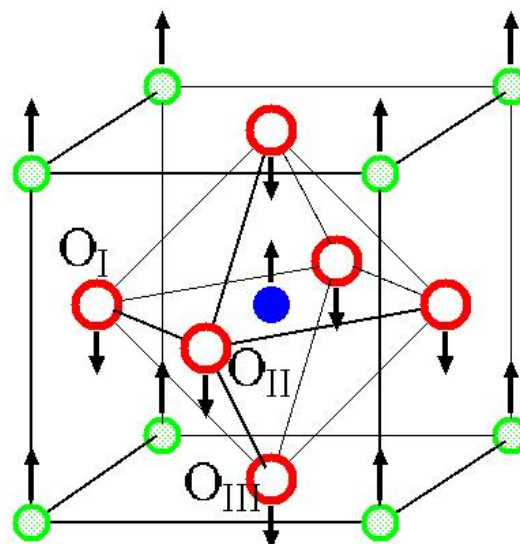
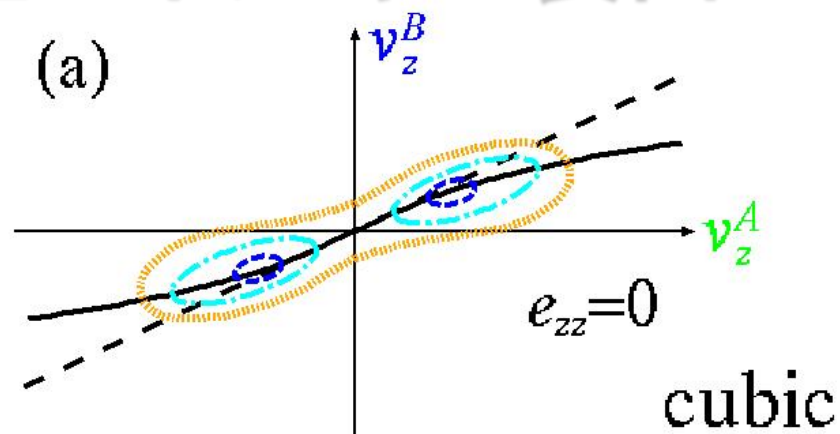


1T type

強誘電体の第一原理有効ハミルトニアンにもとづいた分子動力学シミュレーションの手順

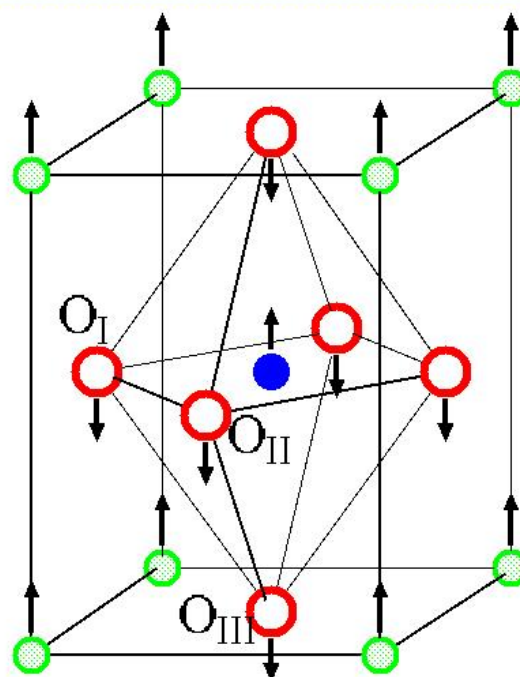
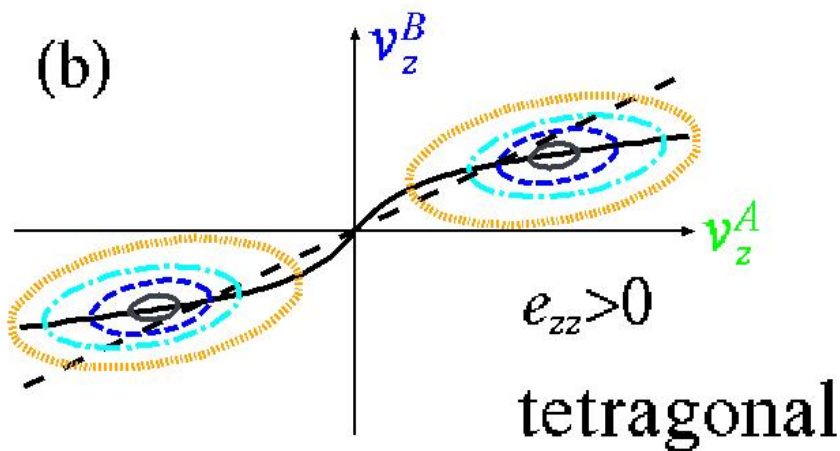
- ▶ 強誘電体BaTiO₃やPbTiO₃を**第一原理計算**で調べて有効ハミルトニアン(25個のパラメータを持つ)を構築
 - **ABINIT**を改造して利用 <http://www.abinit.org/>
 - 平面波展開: $E_{\text{cut}}=60$ Hartree, on 8x8x8 k -points
 - Rappeのノルム保存擬ポテンシャル <http://opium.sf.net/>
 - GGA (Wu and Cohen), LDAやGGA (PBE) ではダメ
 - 絶対0度の物性しかわからない
- ▶ その有効ハミルトニアンを**分子動力学法**を使って**いろいろな条件下**で時間発展して物性を予測
 - 独自開発した**feram**を利用 <http://loto.sf.net/feram/>
 - 大規模(32x32x512ユニット・セル、~100nm)な系の長時間(~100ns)のシミュレーションが可能
 - 温度、圧力、ひずみ、バルクか薄膜か、外部電場

ペロブスカイト型強誘電体 ABO_3 の全エネルギー表面



電気分極
(双極子)

A ○
B ●
O ○

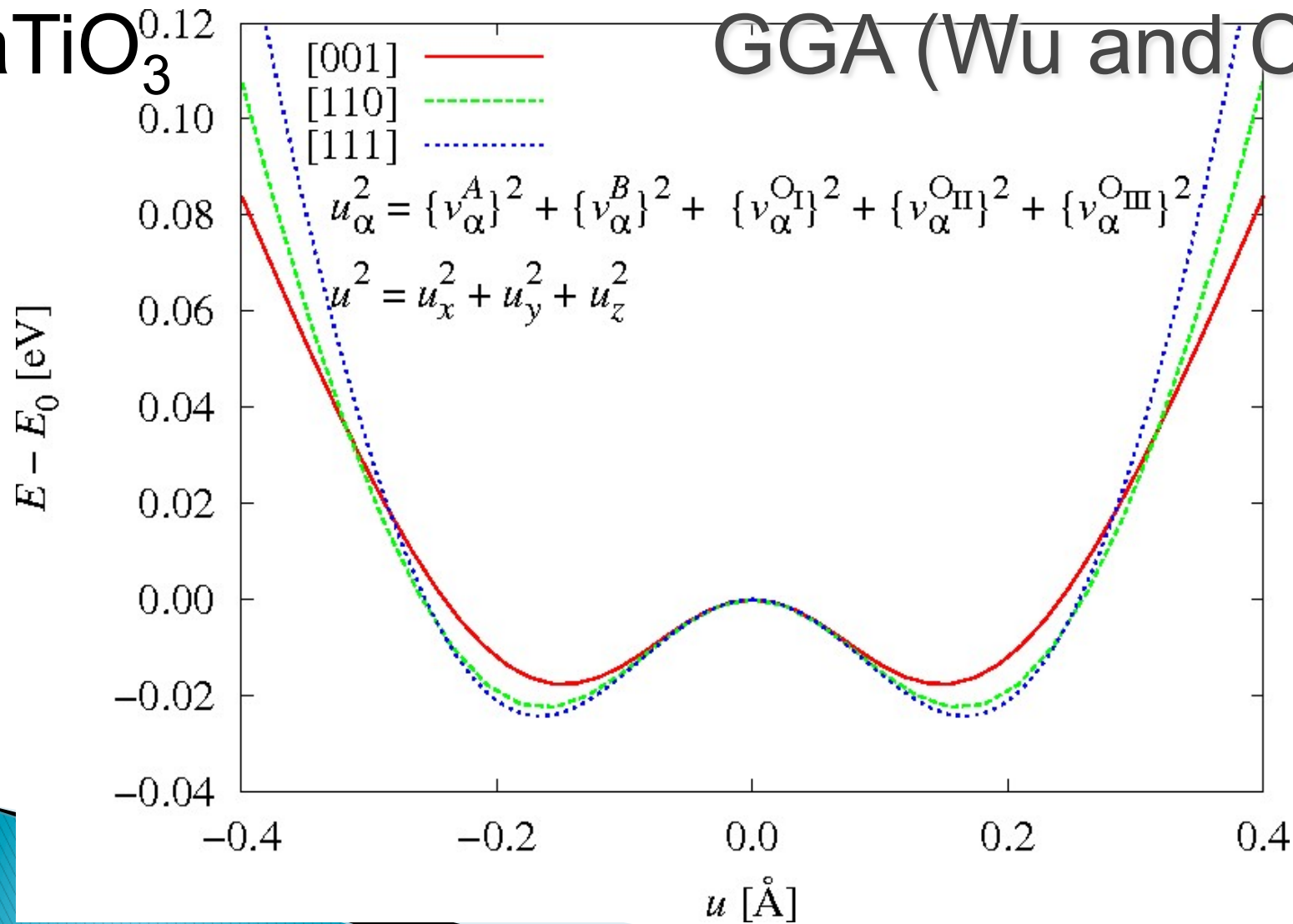


z
 y
 x

[T. Hashimoto,
T. Nishimatsu *et al.*:
Jpn. J. Appl. Phys. **43**,
6785 (2004)] より

全エネルギー表面を第一原理計算 (ABINITパッケージを改造して利用)

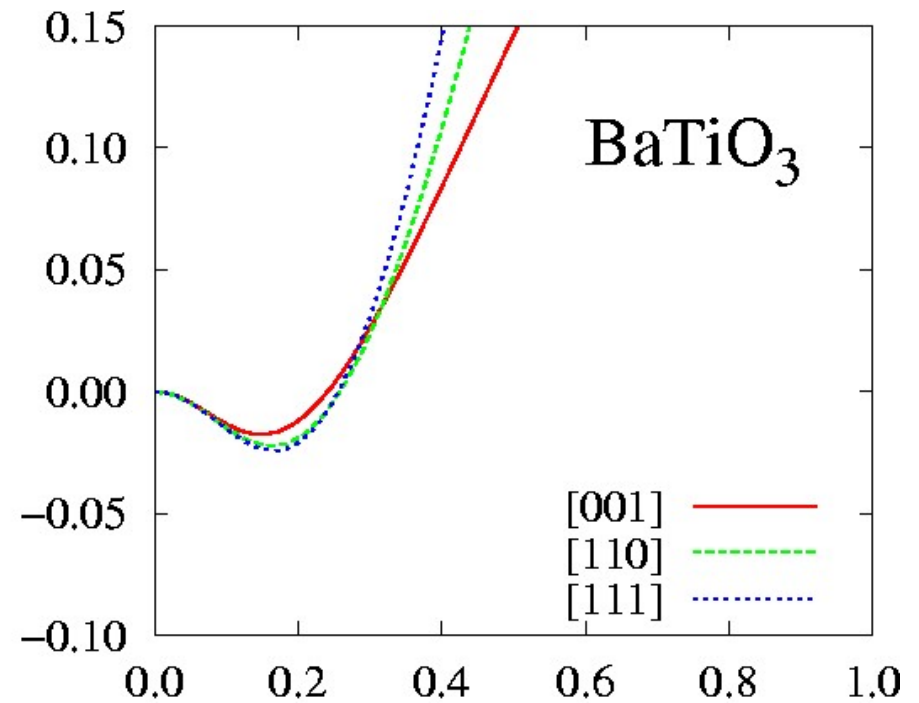
BaTiO₃ GGA (Wu and Cohen)



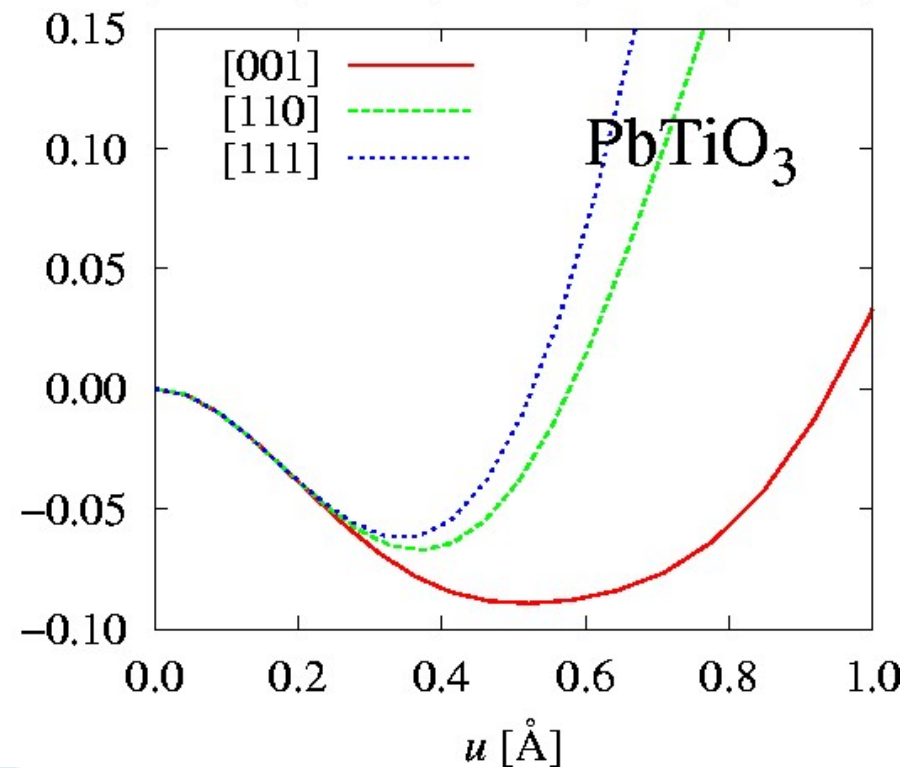
BaTiO₃とPbTiO₃との比較

- ▶ BaTiO₃の全エネルギー表面は浅くて原点に近い
- ▶ [111]方向に歪むのが最安定
- ▶ PbTiO₃の全エネルギー表面は深くて原点から遠い
- ▶ [001]方向に歪むのが最安定

$E - E_0$ [eV]



$E - E_0$ [eV]



その他に必要な第一原理計算

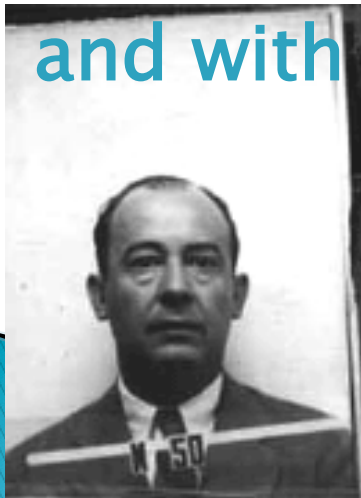
- ▶ 格子定数、弾性定数を求める計算
- ▶ フォノンの分散関係の計算（線形応答で）
より正確にはフォノンの dynamical matrix $D(k)$ ではなく、原子の質量で割る前の interatomic force constant matrix $\phi(k)$ を計算し、その固有値から擬スピン間の相互作用を見積もる

With four parameters I can fit an elephant,
and with five I can make him wiggle his trunk.

-- John von Neumann

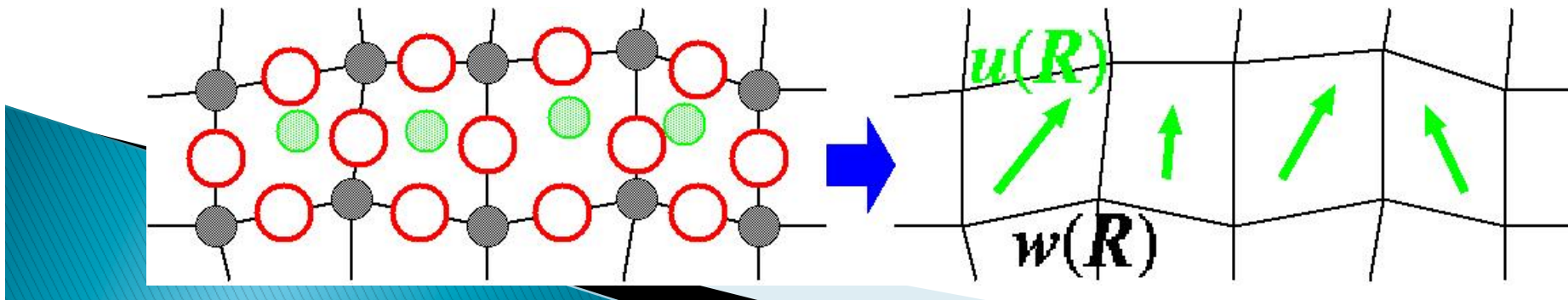
25個ものパラメータを第一原理計算
だけで決めるのはわりとしんどい

-- 西松毅



強誘電体の分子動力学計算のための粗視化: 系の自由度を単純化

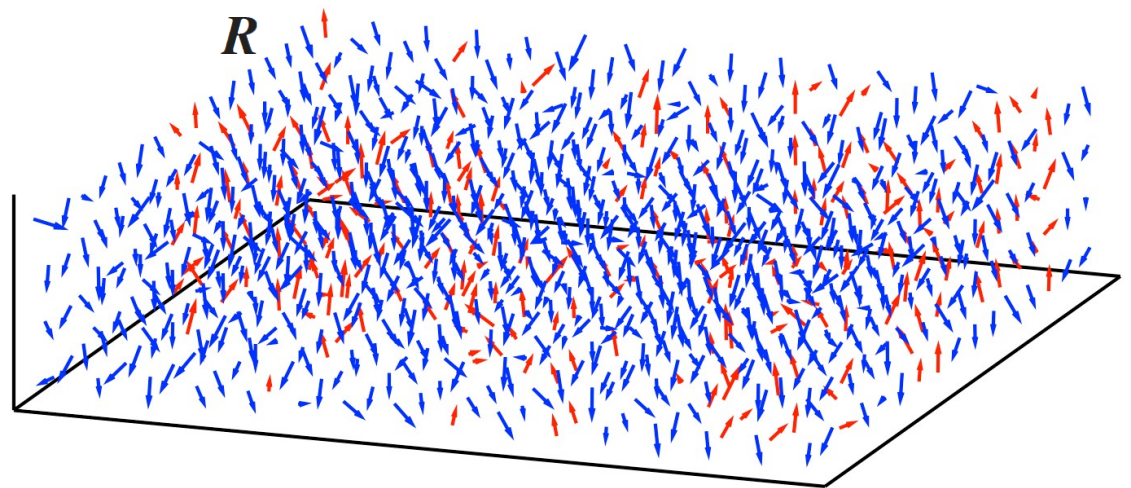
- ▶ 実際のペロブスカイト型 ABO_3 : $15N+6$ 自由度
 - 単位胞中5個の原子
 - 各原子は x, y, z の3方向に動く
 - スーパーセル中 N 個の単位胞
 - 歪みの6成分
- ▶ 粗視化したモデル: $6N+6$ 自由度
 - 単位胞に1つの双極子ベクトル $Z^*u(R)$
 - 単位胞に1つの「音響変位」ベクトル $w(R)$
 - 計 6 自由度/単位胞



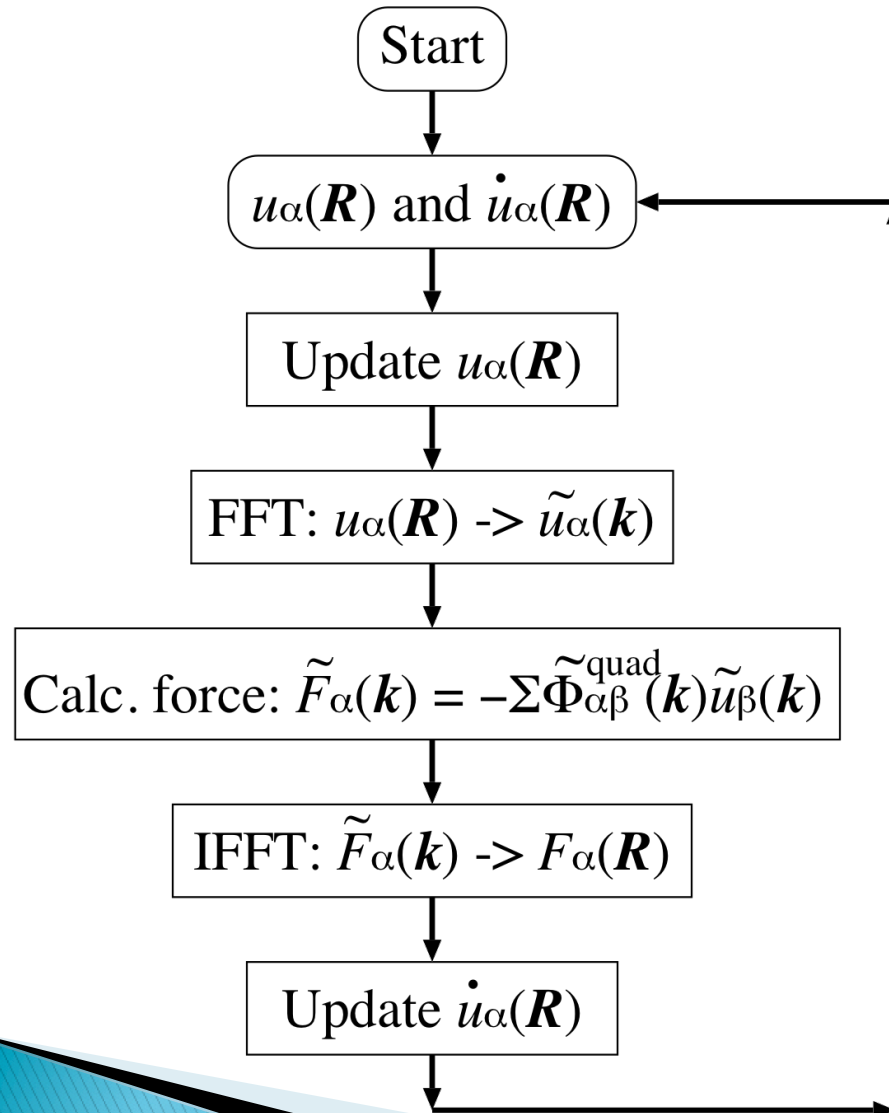
有効ハミルトニアン(25個のパラメータは第一原理計算により決める)

$$\begin{aligned} H^{\text{eff}} = & \frac{M_{\text{dipole}}^*}{2} \sum_{\mathbf{R}, \alpha} \dot{u}_{\alpha}^2(\mathbf{R}) + \frac{M_{\text{acoustic}}^*}{2} \sum_{\mathbf{R}, \alpha} \dot{w}_{\alpha}^2(\mathbf{R}) + V^{\text{self}}(\{\mathbf{u}\}) \\ & + V^{\text{dpl}}(\{\mathbf{u}\}) + V^{\text{short}}(\{\mathbf{u}\}) + V^{\text{elas, homo}}(\eta_1, \dots, \eta_6) \\ & + V^{\text{elas, inho}}(\{\mathbf{w}\}) + V^{\text{coup, homo}}(\{\mathbf{u}\}, \eta_1, \dots, \eta_6) \\ & + V^{\text{coup, inho}}(\{\mathbf{u}\}, \{\mathbf{w}\}) - Z^* \sum_{\mathbf{R}} \boldsymbol{\varepsilon} \cdot \mathbf{u}(\mathbf{R}), \end{aligned}$$

すなわち、双極子を
たくさんならべた
スーパーセル(周期的
境界条件)で計算



長距離双極子間相互作用の高速計算



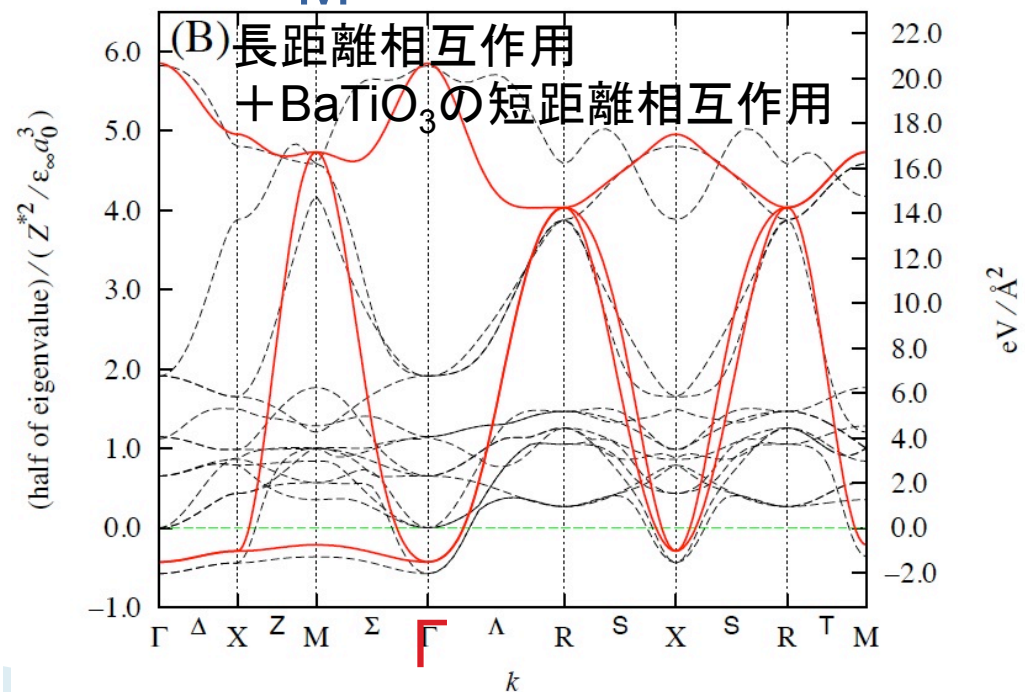
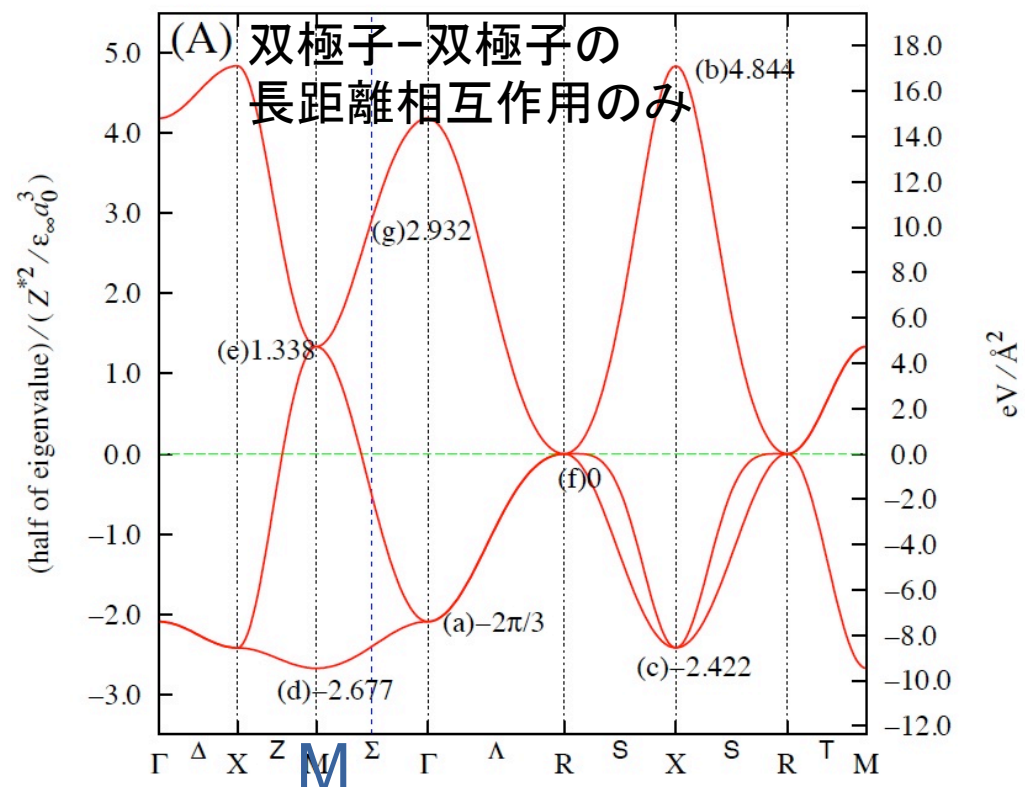
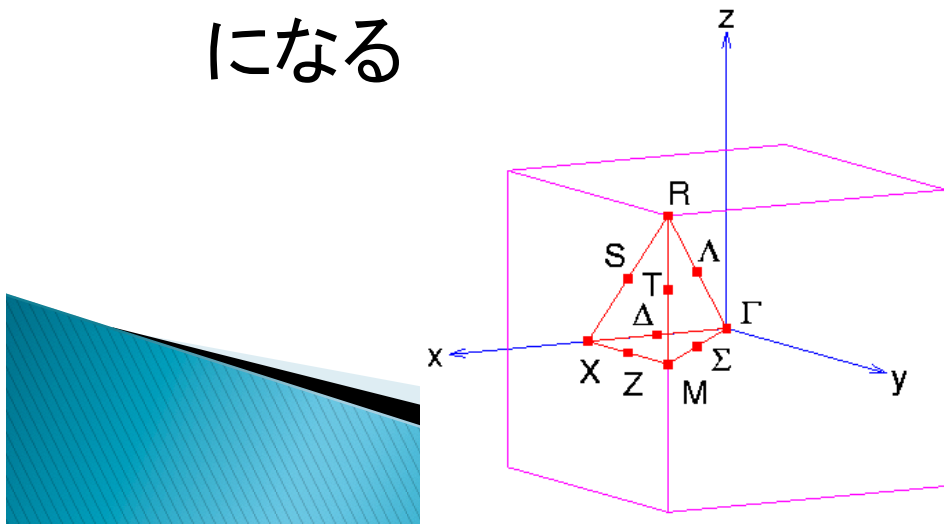
$$V^{\text{dpl}}(\{u\}) = \frac{1}{2} \sum_{i=1}^N \sum_{\alpha} \sum_{j=1}^N \sum_{\beta} u_{\alpha}(\mathbf{R}_i) \Phi_{\alpha\beta}(\mathbf{R}_{ij}) u_{\beta}(\mathbf{R}_j),$$

$$\Phi_{\alpha\beta}(\mathbf{R}_{ij}) = \frac{Z^{*2}}{\epsilon_{\infty}} \sum_n \frac{\delta_{\alpha\beta} - 3 \widehat{(\mathbf{R}_{ij} + \mathbf{n})}_{\alpha} \widehat{(\mathbf{R}_{ij} + \mathbf{n})}_{\beta}}{|\mathbf{R}_{ij} + \mathbf{n}|^3},$$

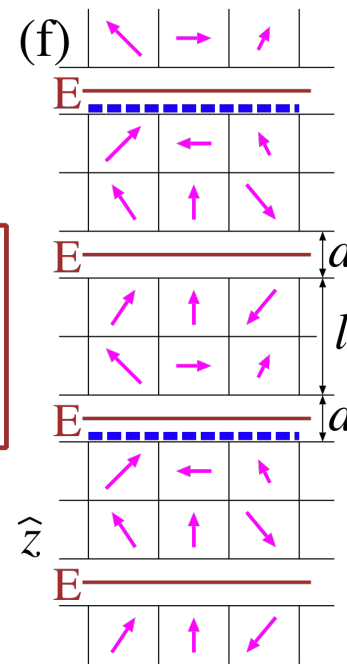
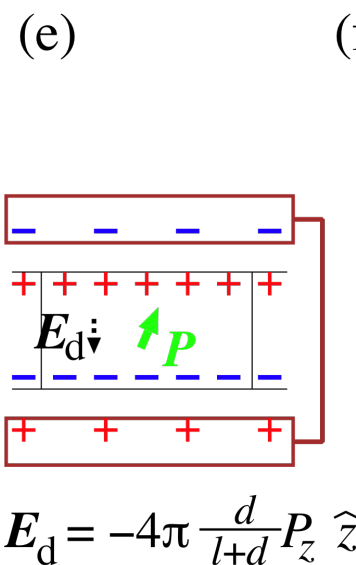
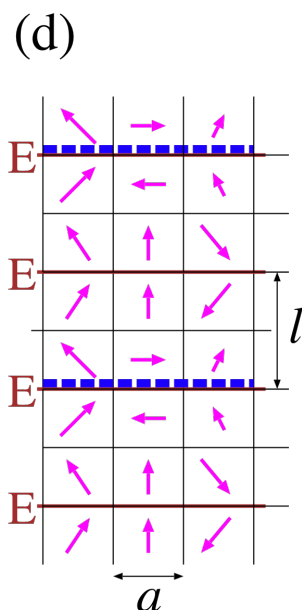
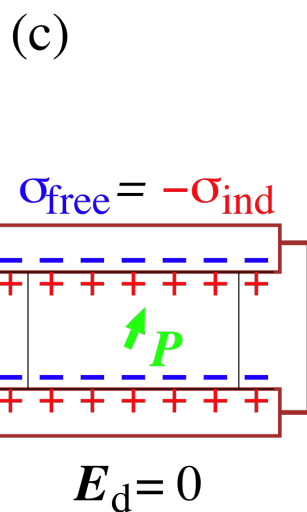
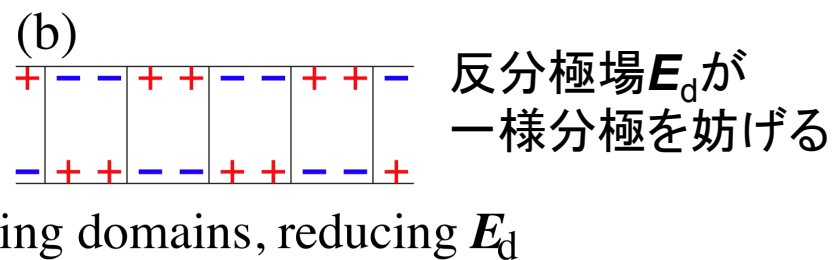
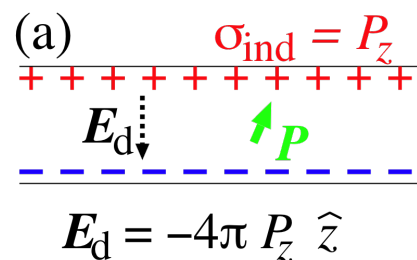
双極子に働く力の計算方法の簡単化したフローチャート. 高速フーリエ変換 (FFT) と逆FFT (IFFT) とが長距離双極子-双極子相互作用の高速計算を可能にし, 実空間で計算していたら $O(N^2)$ の計算時間がかかるものが $O(N \log N)$ になる.

単純立方格子上の 双極子 u の相互作用

- ▶ 双極子-双極子の長距離相互作用のみでは**M点の反強誘電状態**が最安定
- ▶ 短距離相互作用を入れてはじめて **Γ 点の強誘電状態**が最安定になる



キャパシタのための周期境界条件

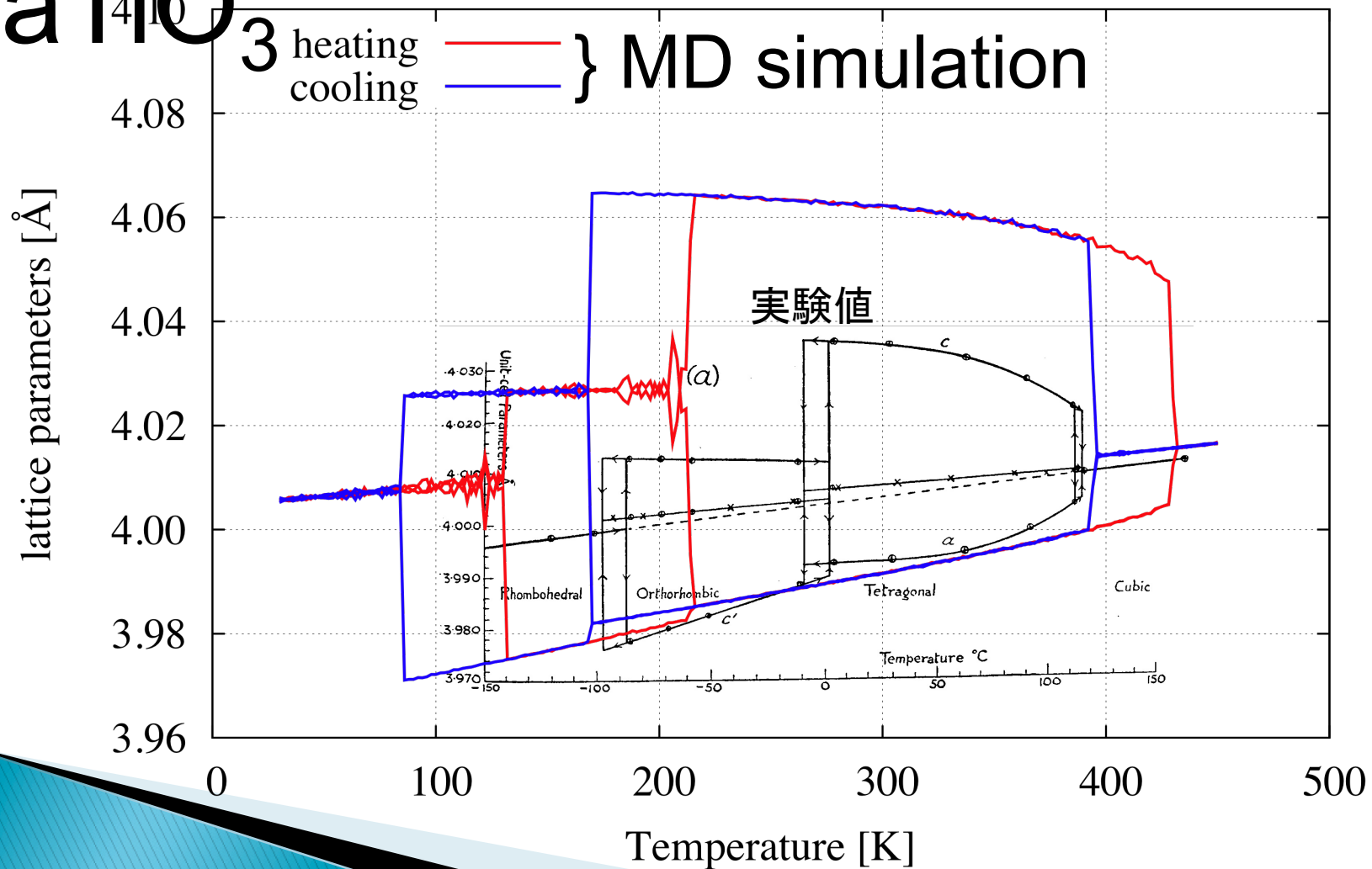


電極は静電的な鏡と見なすことができる

どんな計算ができるか：相転移

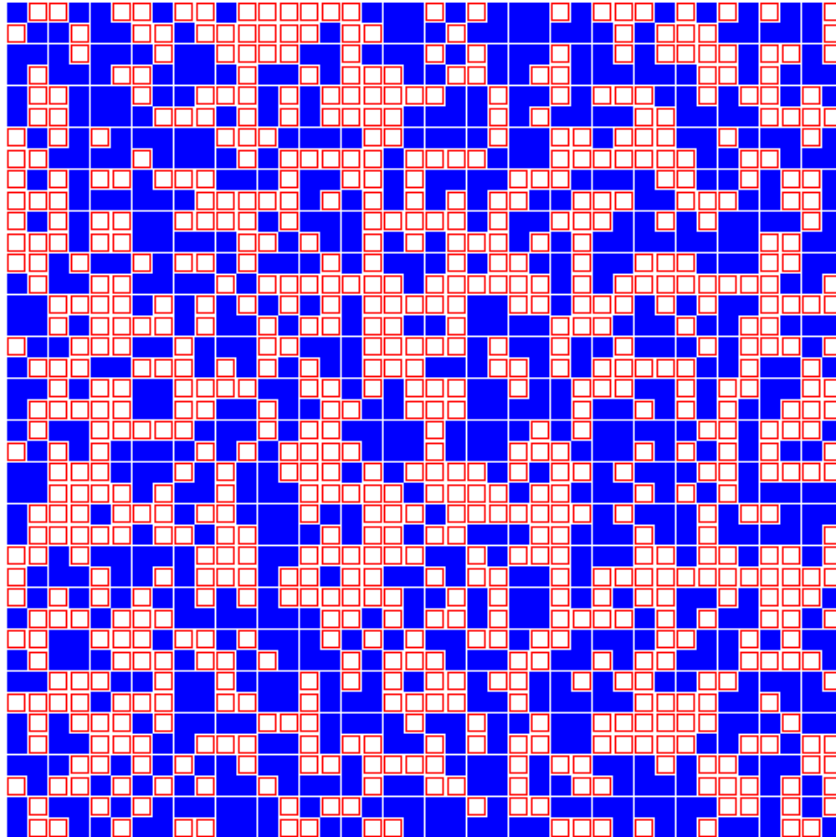
Wu and Cohen's GGA, $p = -0.005T$ GPa

BaTiO₃



BaTiO₃強誘電体キャパシタの電極依存性(断面の分極のアニメーション)

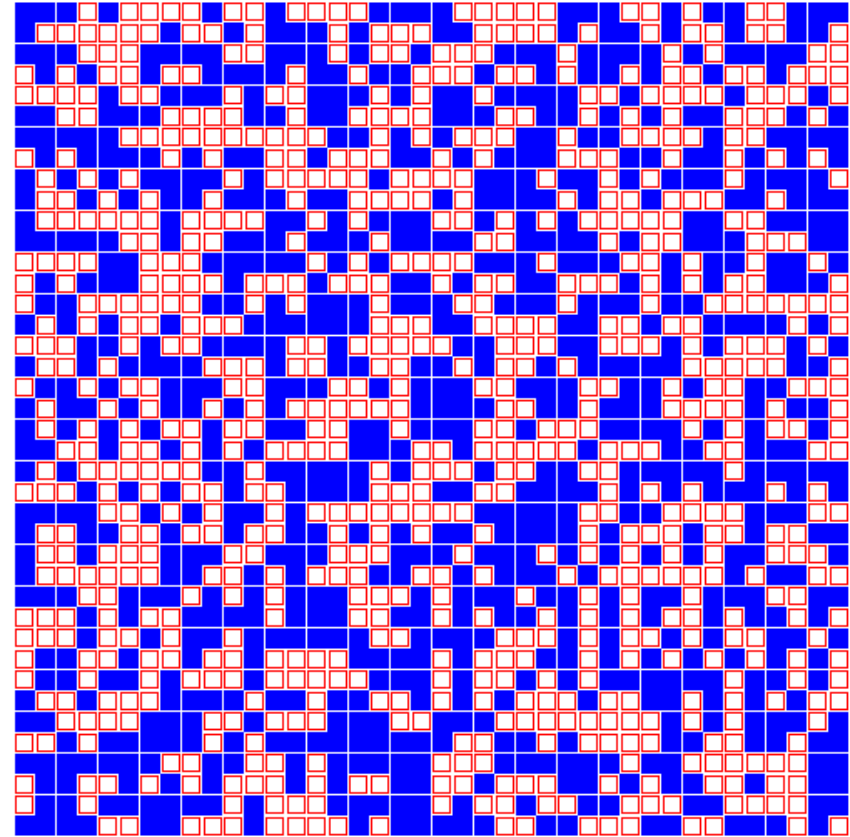
$l = 32, d = 0$ cooling



$T = 900$ K

完全な電極(アニメーション)

$l = 31, d = 1$ cooling



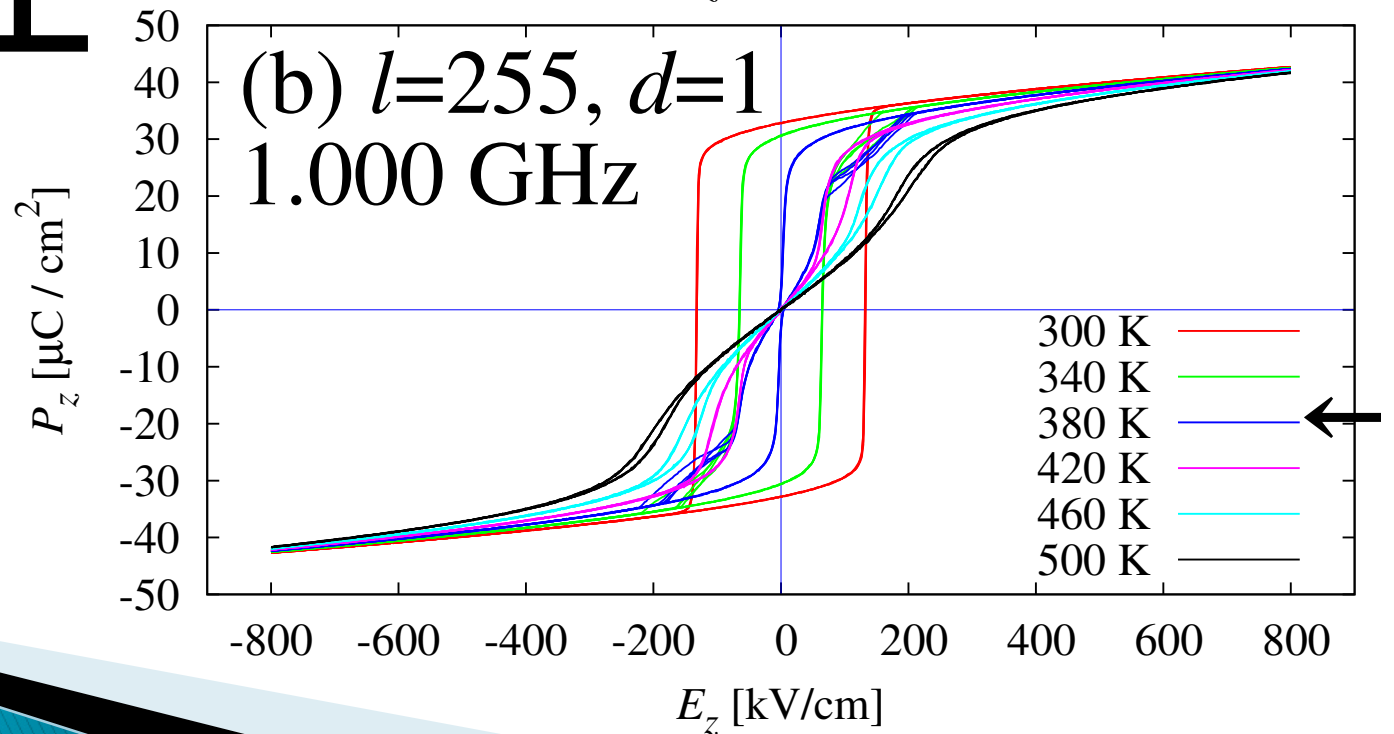
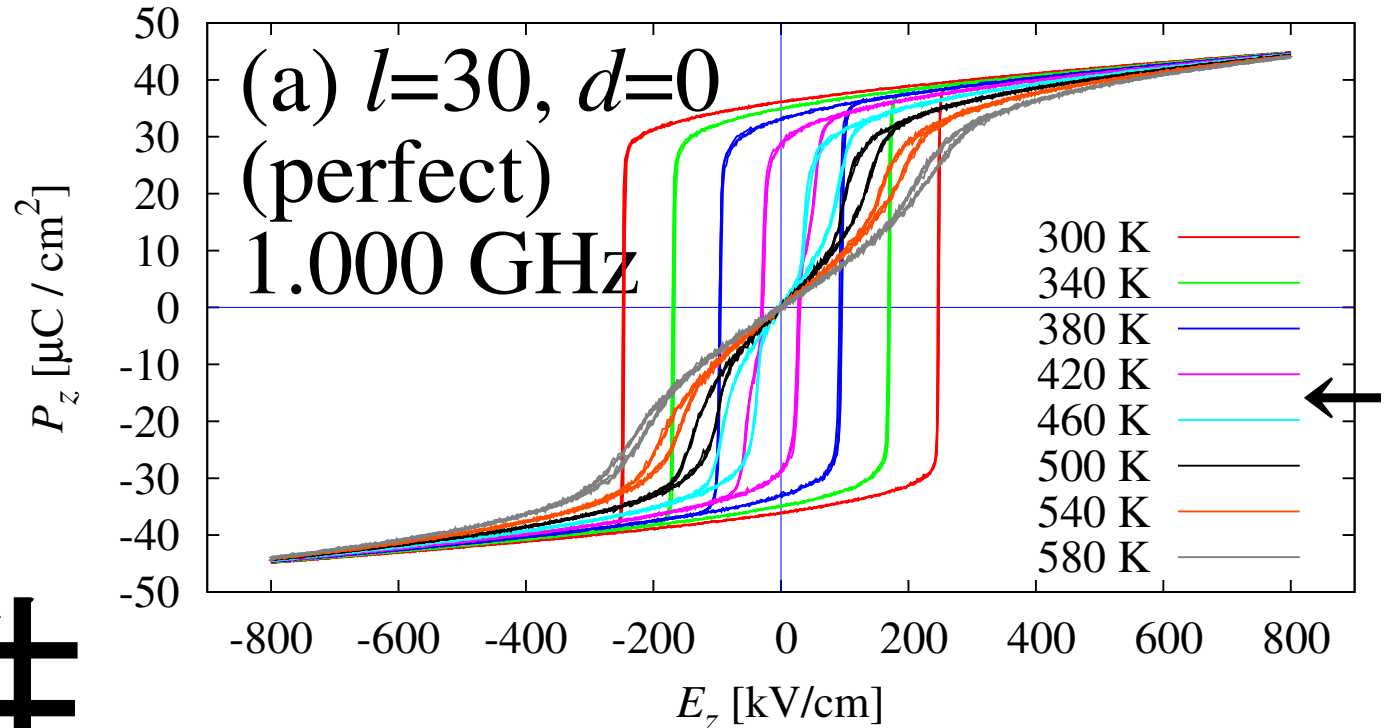
$T = 900$ K

不完全な電極(アニメーション)

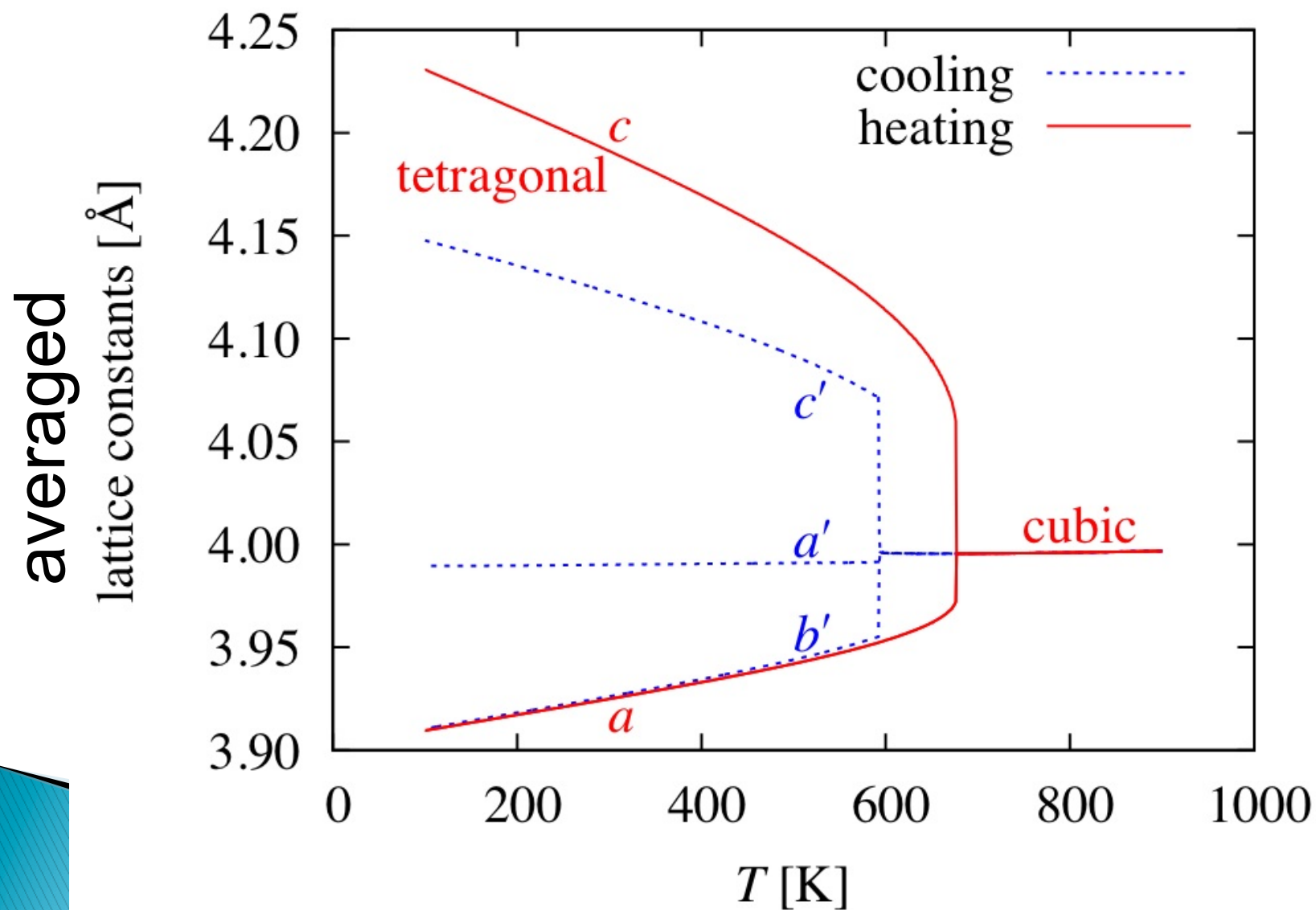
温度 電極

依存性

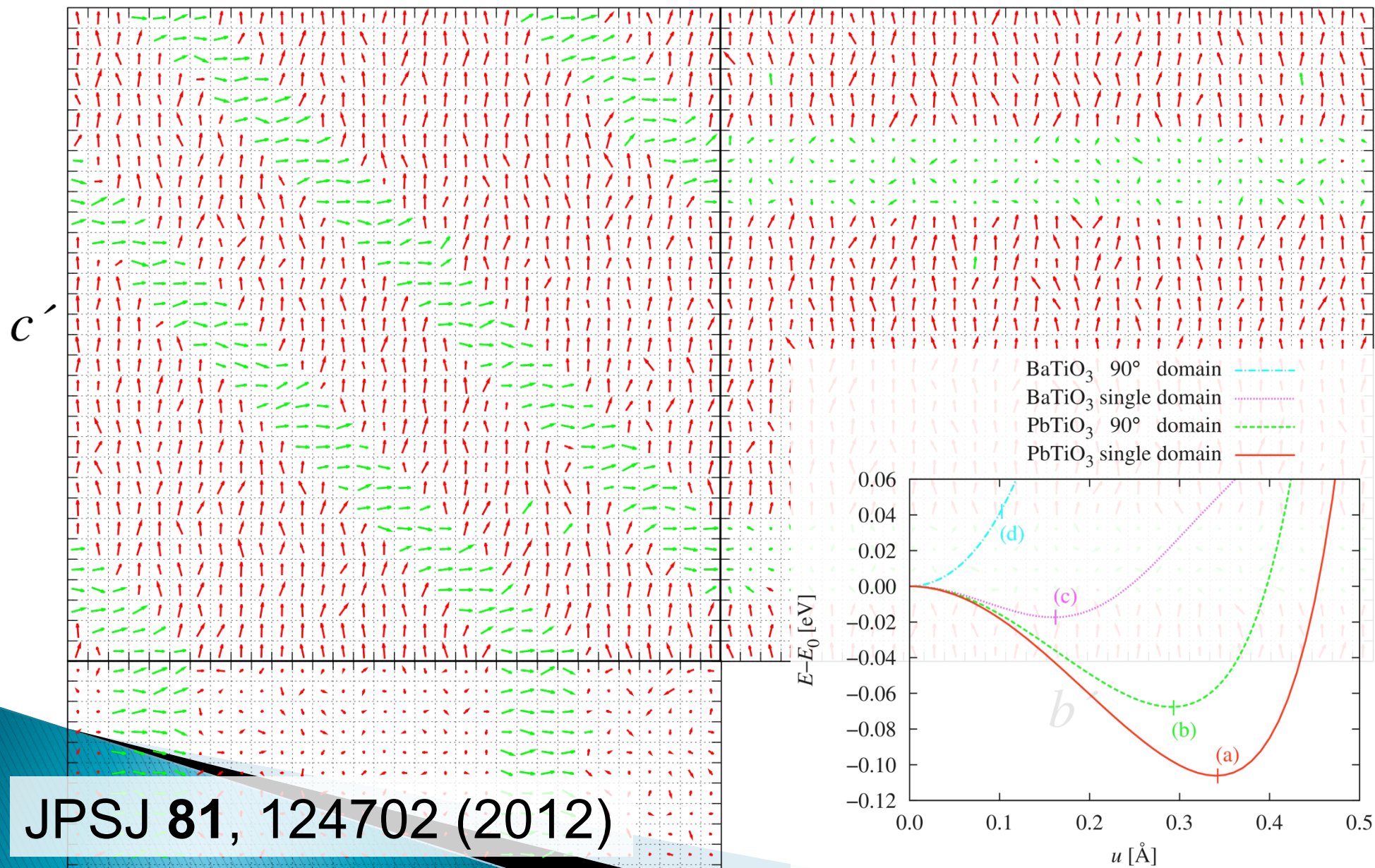
不完全な電極
→ T_C を下げる
→ T_C 付近での
応用に課題



PbTiO₃は降温シミュレーションで90°ドメイン構造が凍結される

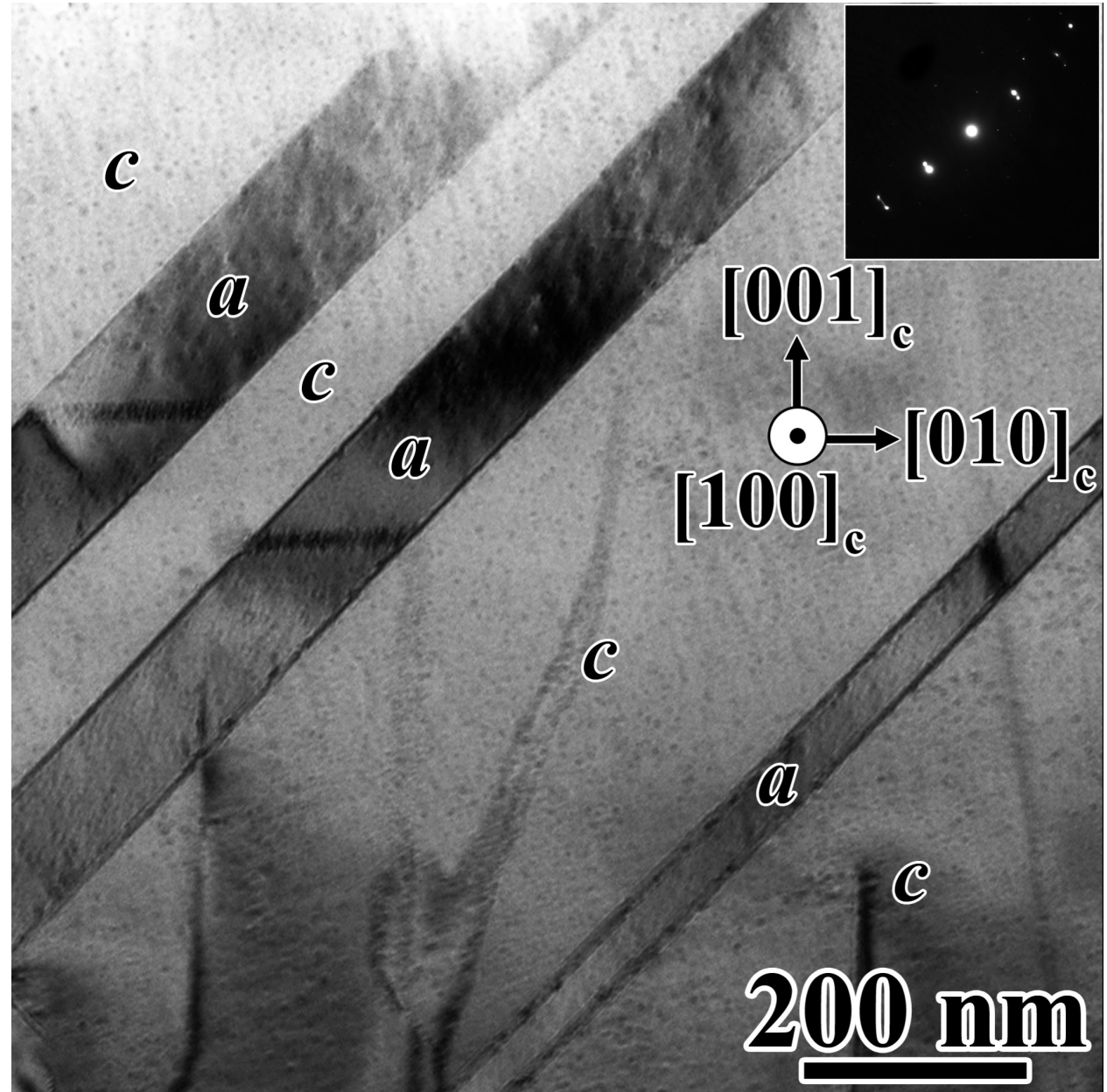


凍結されたPbTiO₃の90°ドメイン構造



PbTiO₃の 90°ドメイン

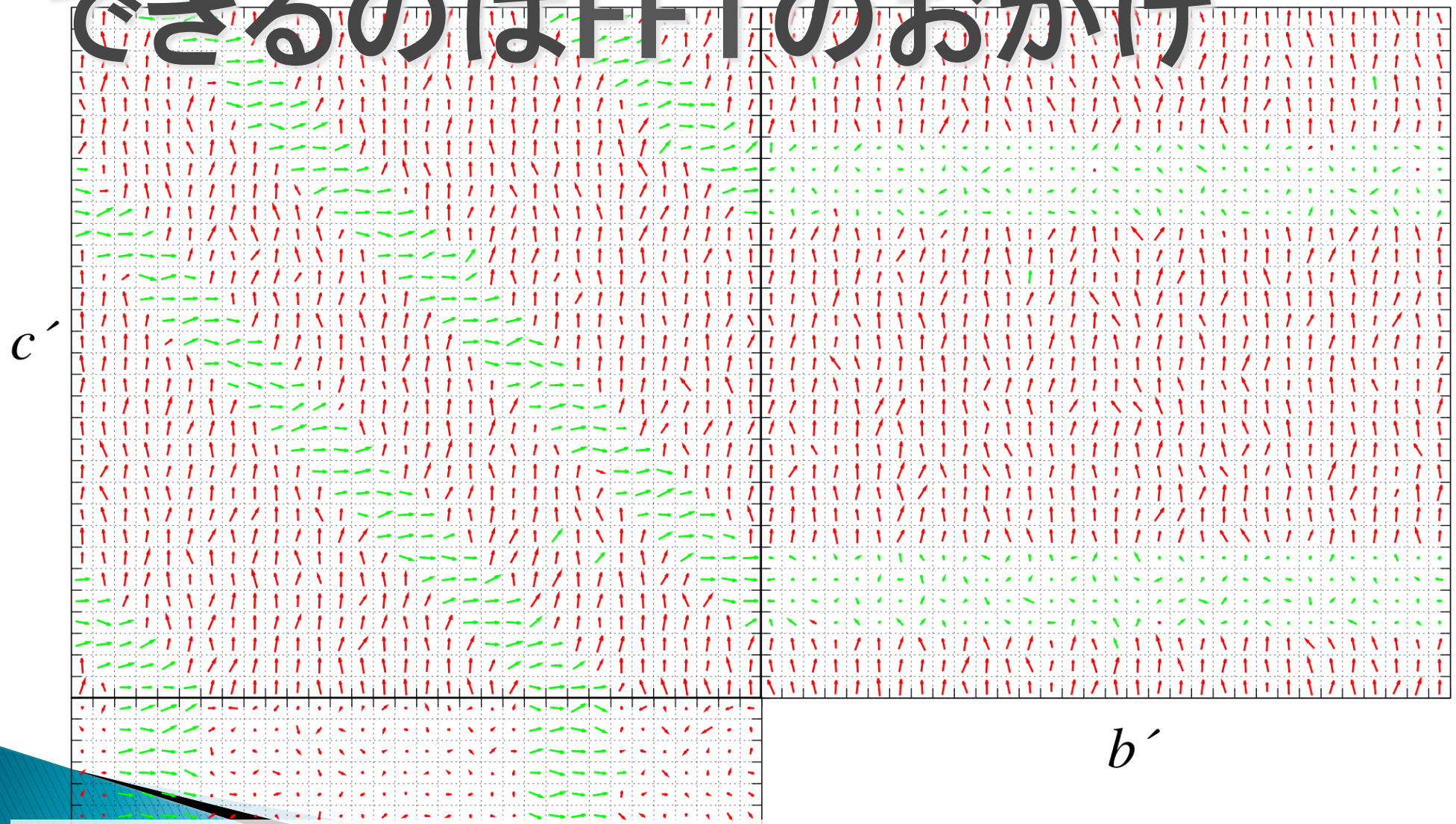
- ▶ SrTiO₃基板に成長させたPbTiO₃厚膜の明視野TEM像
- ▶ 基板に垂直な *c* ドメインの中に *a* ドメインを形成することで基板との miss-fit strain を緩和



前半のまとめ

- ▶ ペロブスカイト型強誘電体 ABO_3 のための第一原理有効ハミルトニアンに基づく高速な分子動力学計算コード **feram** を開発。フリーソフトウェアとして公開。
- ▶ 長距離の双極子-双極子相互作用をFFTで扱うことにより大規模で長時間のMDシミュレーションが可能になってきた。
- ▶ 強誘電体の相転移、ヒステリシスループ、ドメイン構造のシミュレーション
- ▶ 電気熱量効果と弾性熱量効果のシミュレーション
(来週)

このような大きな系の計算ができるのはFFTのおかげ



具体的にどのようにFFTWライブラリを使っているか解説

離散フーリエ変換 (DFT) とは 一般的な定義 (1次元)

- ▶ N 個の (周期的な) 複素数から、 N 個の (周期的な) 複素数への写像
- ▶ $1/N$ はどちらに付けてもよいし、それぞれに $1/\sqrt{N}$ を付けてもよい
- ▶ 計算量は約 $8N^2$ FLOP

$$x = 0, 1, 2, \dots, (N-1)$$

$$s = 0, 1, 2, \dots, (N-1)$$

$$\tilde{c}(s) = \frac{1}{N} \sum_x c(x) e^{-i \frac{2\pi sx}{N}}$$

$$c(x) = \sum_s \tilde{c}(s) e^{i \frac{2\pi sx}{N}}$$

周期 T で N 回サンプリング 音波の解析など

$$t = \frac{T}{N} 0, \quad \frac{T}{N} 1, \quad \frac{T}{N} 2, \quad \dots, \quad \frac{T}{N} (N-1)$$

$$\omega = \frac{2\pi}{T} 0, \quad \frac{2\pi}{T} 1, \quad \frac{2\pi}{T} 2, \quad \dots, \quad \frac{2\pi}{T} (N-1)$$

$$\tilde{c}(\omega) = \frac{1}{N} \sum_t c(t) e^{-i\omega t}$$

$$c(t) = \sum_{\omega} \tilde{c}(\omega) e^{i\omega t}$$

周期 a で N 回サンプリング 結晶中の電子の波動関数(Γ 点の)

$$x = \frac{a}{N}0, \quad \frac{a}{N}1, \quad \frac{a}{N}2, \quad \dots, \quad \frac{a}{N}(N-1)$$

$$G = \frac{2\pi}{a}0, \quad \frac{2\pi}{a}1, \quad \frac{2\pi}{a}2, \quad \dots, \quad \frac{2\pi}{a}(N-1)$$

$$\tilde{c}(G) = \frac{1}{N} \sum_x c(x) e^{-iGx}$$

$$c(x) = \sum_G \tilde{c}(G) e^{iGx}$$

フーリエ変換は様々な応用されている

周期 Na で N 回サンプリング 1次元結晶中のフォノンとか

$$X = a0, \quad a1, \quad a2, \quad \dots, \quad a(N-1)$$

$$k = \frac{2\pi}{a} \frac{0}{N}, \quad \frac{2\pi}{a} \frac{1}{N}, \quad \frac{2\pi}{a} \frac{2}{N}, \quad \dots, \quad \frac{2\pi}{a} \frac{(N-1)}{N}$$

$$\tilde{c}(k) = \frac{1}{N} \sum_X c(X) e^{-ikX}$$

$$c(X) = \sum_k \tilde{c}(k) e^{ikX}$$

$X \rightarrow \mathbf{R}, k \rightarrow \mathbf{k}$ と3次元ベクトルにしたのが
3次元離散フーリエ変換(次ページ)

$N=L_x \times L_y \times L_z$ 3次元離散フーリエ変換
3次元結晶中のフォノンとか
feramはこれの実数 \Rightarrow 複素数を使用

$$\tilde{c}(\mathbf{k}) = \frac{1}{N} \sum_{\mathbf{R}} c(\mathbf{R}) e^{-i\mathbf{k} \cdot \mathbf{R}}$$

$$c(\mathbf{R}) = \sum_{\mathbf{k}} \tilde{c}(\mathbf{k}) e^{i\mathbf{k} \cdot \mathbf{R}}$$

高速フーリエ変換 (FFT) とは

- ▶ 和の中の e^{-ikX} に同じものや同じものの積が何度も出てくることを使う(?)、離散フーリエ変換を高速に行うアルゴリズム
- ▶ 1次元でも2次元でも3次元でも何次元でも計算量はほぼ $5N \log_2 N$ FLOP

離散フーリエ変換 (DFT) ・高速フーリエ変換 (FFT) の演習問題

だいぶ昔に書いた $N=8$ の演習問題をGistに置きました. k の周期性が勉強できます.

<https://gist.github.com/t-nissie/831940161039db8a9da6>

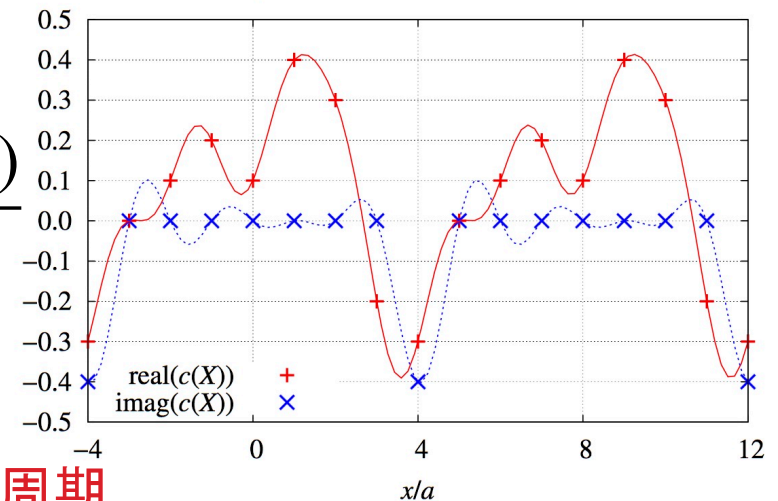
Example of Fourier transform with 8 data

$$X = a0, a1, a2, \dots, a(N-1)$$

$$k = \frac{2\pi}{a} \frac{0}{N}, \frac{2\pi}{a} \frac{1}{N}, \frac{2\pi}{a} \frac{2}{N}, \dots, \frac{2\pi}{a} \frac{(N-1)}{N}$$

$$\tilde{c}(k) = \frac{1}{N} \sum_X c(X) e^{-ikX}$$

$$c(X) = \sum_k \tilde{c}(k) e^{ikX}$$



周期

配列として確保する範囲 0~7

X					$0a$	$1a$	$2a$	$3a$	$4a$	$5a$	$6a$	$7a$	$8a$...
$k / (2\pi/a)$	$-4/8$	$-3/8$	$-2/8$	$-1/8$	$0/8$	$1/8$	$2/8$	$3/8$	$4/8$	$5/8$	$6/8$	$7/8$	$8/8$...

等価

FFTWライブラリとは

- ▶ MITのNinjaたち (Matteo Frigo and Steven G. Johnson) が開発・公開しているFFTライブラリ
- ▶ フリーソフトウェア 最新: `fftw-3.3.4.tar.gz`
- ▶ 高速(とんでもなく)
- ▶ 高速(デファクトスタンダード、MKLやcuFFTにはラッパ)
- ▶ 高速(「FFTWより高速」とかいうベンチマークの9割はFFTWの使い方を間違えている)
- ▶ どんな N (係数の数)にも対応
- ▶ 単精度、倍精度、拡張精度にはリンクするライブラリを変えて対応する
- ▶ 初期段階にいくつかの試行計算を行って、最適なアルゴリズムを選択するのが特徴→`plan`(後述)

FFTWのインストール方法

- ▶ <http://loto.sourceforge.net/feram/INSTALL.html>
- ▶ Debian GNU/Linux系 (Ubuntuなど)
 - `# apt-get install libfftw3-dev`
- ▶ RedHat系 (CentOSなど)
 - `# yum install fftw-devel`
- ▶ Cygwin on Windows (gnupackなど)
 - `# apt-cyg install libfftw3-devel`
- ▶ Mac OS X
 - Homebrew: `# brew install fftw`
 - MacPorts(ompはなし?): `# port install fftw-3`
 - Xcode付属の `/usr/bin/gcc`(実はApple LLVMの clang) で GCC (GNU Compiler Collection) をコンパイル・インストールして、さらにそれでFFTWをコンパイル・インストール(次ページ)

FFTWのコンパイルとインストール(倍精度)

```
$ wget http://www.fftw.org/fftw-3.3.4.tar.gz
$ tar xf fftw-3.3.4.tar.gz
$ mkdir fftw-3.3.4/build-with-gcc
$ cd $_
$ ../configure --prefix=/usr/local --libdir=/usr/local/lib64 \
  --enable-openmp --enable-threads --enable-sse2 --enable-avx \
  --enable-mpi --enable-shared
$ make -j --max-load=10.0
$ make check
$ su
# make install
# ldconfig # 必要なら
# exit
$ /usr/local/bin/fftw-wisdom --version
fftw-wisdom tool for FFTW version 3.3.4.
```

- ▶ `--prefix=`, `--libdir=`, `--max-load=`の値は適宜システムに合わせる
- ▶ MPI版が不要なら`--enable-mpi`は不要

FFTWの基本的な使い方

- ▶ 初期化 (FortranでもCの関数を直接使う)
 - `use, intrinsic :: iso_c_binding; include 'fftw3.f03'; type(C_PTR) :: plan`
 - `ireturn = fftw_init_threads()`
 - `call fftw_plan_with_nthreads(OMP_GET_MAX_THREADS())`
- ▶ 配列のallocateとファーストタッチ
- ▶ 準備段階でplanを作成 SoA or AoS用(後述) フラグ(次ページ)
 - `plan = fftw_plan_many_dft_r2c(..., r1, ..., c1, ..., FFTW_MEASURE)`
- ▶ 本番ではplanの実行を繰り返す
 - `call fftw_execute_dft_r2c(plan, r2, c2)`
 - r2, c2のサイズとファーストタッチがr1, c1と同じなら同じplanが使える
- ▶ 配列のdeallocate
- ▶ 終了処理 (プログラムがすぐ終わるなら、なくてもよい)
 - `call fftw_destroy_plan(plan)`
 - `call fftw_cleanup_threads()`

planの作成で複数のアルゴリズムなどが試され最速のcodeletが選ばれる。

fftw_planのフラグについて

FFTW_MEASURE or FFTW_PATIENT

- ▶ **FFTW_ESTIMATE**で作られるplanは一般的に遅いので初期化などだけで用いる。配列の中身を壊さないという利点はある。
- ▶ プログラム内では**FFTW_MEASURE**を用いる。planを作っているときに配列の中身が壊れることに注意。
- ▶ **FFTW_PATIENT**を用いてwisdom(後述)を書き出せるようにしておく。
- ▶ **FFTW_EXHAUSTIVE**はplanを作るのにとっても時間がかかる。

FFTWを高速に使う方法 (1ノードOpenMP篇)

- ▶ 配列サイズやシステムによる
- ▶ よって、最適な使い方をするにはベンチマークを取る
- ▶ メモリバンド幅が律速; Xeonなどメモリチャネル数が多いCPUに速いメモリを積む
- ▶ 実行効率は10%前後
- ▶ CPUをちゃんと冷やしておかないとクロックが上がらない(下がってしまう、TBが効かない)ことがある?
- ▶ FFTWのAPIをそのまま使ってプログラミングすべき
Intel MKLやCUDAにはラッパが用意されているから
- ▶ 以下のスライドで、用語の説明の後、FFTWを高速かつ高効率に使用方法をいくつか説明

in-place and out-of-place FFT

▶ in-place

- FFTの元と先の配列が同じ。
- real \Rightarrow complexの場合、配列の確保が少し面倒。Fortranの場合、C_PTRを駆使するとrealとcomplexの2つの別の配列のようにアクセスができる。
- メモリ使用量を削減できる。feramの0.23.02 \rightarrow 0.24.00のin-place化などで64x64x1024なら3.13GB \rightarrow 2.73GB と(3+6)x33x65x1024x16 \doteq 316MB 以上削減。

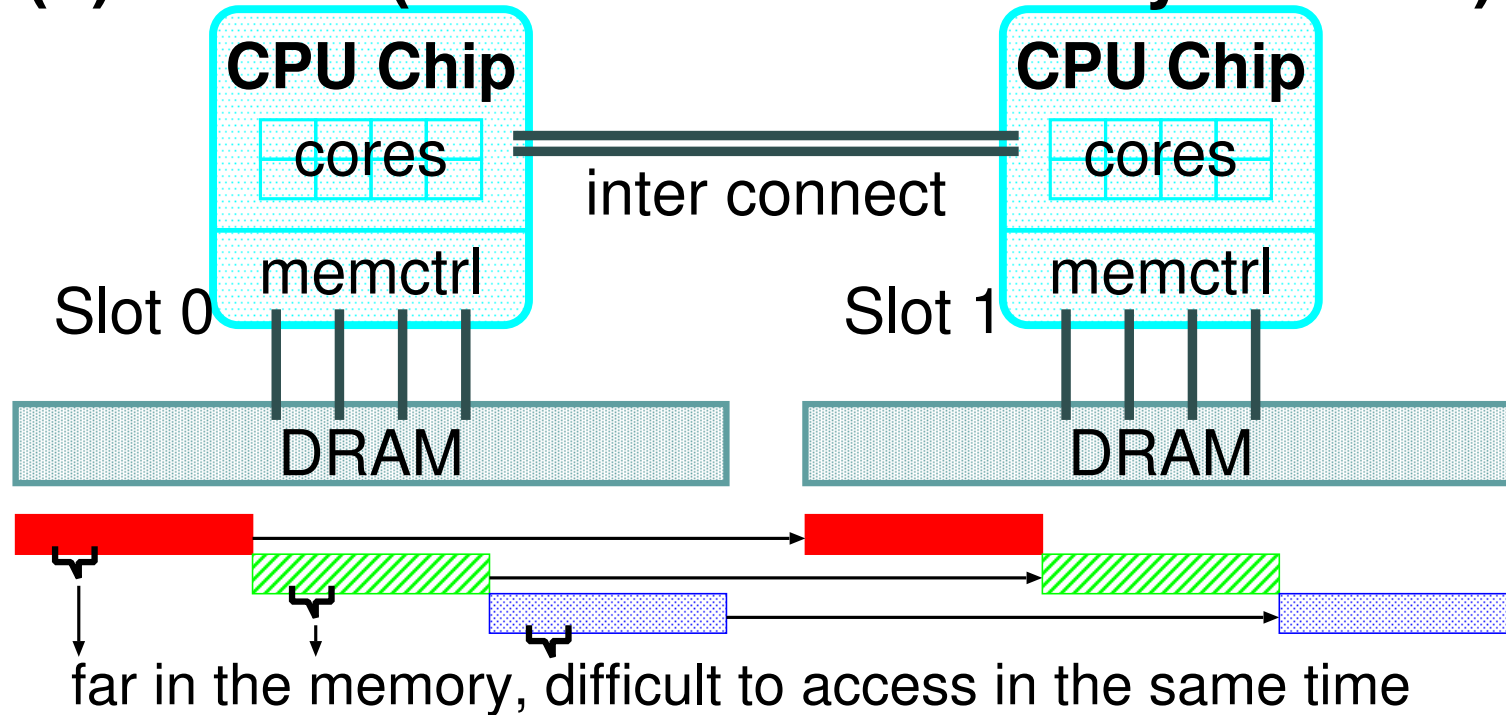
● out-of-place

- ▶ FFTの元と先の配列が異なる。
- ▶ real \Rightarrow complexの場合、それぞれN, N/2+1と、配列の大きさが異なってもよい。コードはシンプル。とりあえずこっちで書く。
- ▶ メモリ使用量が多くなる。
- ◆ FFTWではAPIは同じで自動判定してくれる
- ◆ 配列サイズやシステムによるがFFTWなら計算速度はほぼ同じ
- ◆ feramではどちらも使っている

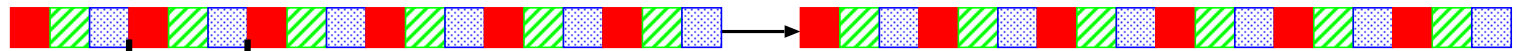
複素数 \Rightarrow 複素数 と 実数 \Rightarrow 複素数

- ▶ 複素数 \Rightarrow 複素数
 - $c(Lx, Ly, Lz) \Rightarrow c(Lx, Ly, Lz)$
- ▶ 複素数 \Rightarrow 複素数と比べると実数 \Rightarrow 複素数のFFTは計算量とメモリ量をそれぞれ約半分にできる
 - out-of-place: $r(Lx, Ly, Lz) \Rightarrow c(Lx/2+1, Ly, Lz)$
 - in-place: $ary(2*(Lx/2+1), Ly, Lz)$
 - FFTWではplanを作るときにc2rまたはr2cの付いた特別な関数を使う
- ▶ 以下のベンチマークはすべて倍精度の3次元実数 \Rightarrow 複素数のFFTの結果 (feramでは複素数 \Rightarrow 複素数を使っていない)

(a) NUMA (Non-Uniform Memory Access)



(b) before: SoA $\text{ary}(L_x, L_y, L_z, 3)$



close in the memory, easy to access in the same time

(c) after: AoS $\text{ary}(3, L_x, L_y, L_z)$

(d) padding: $\text{ary}(3, 2 * (L_x / 2 + 1), L_y + 1, L_z)$
 for in-place real \leftrightarrow complex FFT padding to avoid bank conflicts

feramのパッケージに同梱されている FFTWのベンチマークの実行例

- ▶ $L_x \times L_y \times L_z = N$ の実数 \Rightarrow 複素数の3次元FFT
- ▶ 計算量を $5N \log_2 N / 2$ としてGFLOPS値を概算
- ▶ SR16000, $\frac{1}{4}$ node = 1 chip, SMT on

```
$ export MALLOCMULTIHEAP=true
$ export XLSMPOPTS="spins=0:yields=0:parthds=16:stride=1:startproc=0"
$ ./feram_fftw_SoA 50 128 128 128 1 FFTW_PATIENT
```

```
feram_fftw_SoA.F:66: flags = FFTW_PATIENT GFLOPS
  50  1 128 128 128  1 2097152 in 16 0.240 45.9
  50  1 128 128 128  1 2097152 out 16 0.240 45.9

  50  3 128 128 128  1 2097152 in 16 0.770 42.9
  50  6 128 128 128  1 2097152 in 16 1.540 42.9
  50  3 128 128 128  1 2097152 out 16 0.780 42.3
  50  6 128 128 128  1 2097152 out 16 1.580 41.8
```

```
$ ./feram_fftw_wisdom 50 128 128 128 1 FFTW_PATIENT
feram_fftw_wisdom.F:60: flags = FFTW_PATIENT
```

```
  50  3 128 128 128  1 2097152 in 16 0.890 37.1
  50  6 128 128 128  1 2097152 in 16 1.830 36.1
  50  3 128 128 128  1 2097152 out 16 0.780 42.3
  50  6 128 128 128  1 2097152 out 16 1.590 41.5
```

Paddingについて



- ▶ $\text{ary}(2^*(Lx/2+1), Ly, Lz) \rightarrow \text{ary}(2^*(Lx/2+1), Ly+1, Lz)$
- ▶ Lx, Ly, Lz が2の冪乗のとき、paddingを入れてバンクコンフリクトを回避すると速くなることもある。
- ▶ 配列サイズやシステムによる。
- ▶ paddingにより比較的容易な変更でますますの高速化が見込める。
- ▶ ただし、コードが汚くなるので、

$+1$ でなくpadding_yなど変数を用いる。

Padding なし vs. あり

128x128x128のFFTのpadding_y=0 or 1のGFLOPS値を比較

SR16000 (Power7) 3.83 GHz, 1/4 node = 1 chip, 8 core, SMT on, 16 thread

SoA or AoS	1		SoA				AoS				
	in	out	in	in	out	out	in	in	out	out	
in-place or out-of-place											
structure length	1	1	3	6	3	6	3	6	3	6	
padding_y=0	39.0	38.3	32.1	34.5	38.9	37.4	33.1	30.9	35.6	32.6	
padding_y=1	45.9	45.9	42.9	42.9	42.3	41.8	37.1	36.1	42.3	41.5	

Intel Xeon X5650, max 3.1 GHz, 6 core x 2 chip, HT off, 12 thread

SoA or AoS	1		SoA				AoS			
	in	out	in	in	out	out	in	in	out	out
in-place or out-of-place										
structure length	1	1	3	6	3	6	3	6	3	6
padding_y=0	36.6	25.7	24.2	23.3	20.1	20.7	27.3	26.2	23.3	22.7
padding_y=1	52.7	36.5	40.7	39.5	31.5	31.3	32.9	27.8	26.1	25.3 ⁵⁴

libfftw3_omp か libfftw3_threads か

どちらでも同じAPIが使えるが、libfftw3_ompをリンクする方が速いので、リンクオプションは -lfftw3 -lfftw3_omp とする。

64x64x64, padding_y=1, FFTW_PATIENT, Xeon X5650,
6 core x **2 chip**, max 3.1 GHz, HT off でGFLOPS値を比較。

SoA or AoS in-place or out-of-place structure length	1		SoA				AoS			
	in	out	in	in	out	out	in	in	out	out
omp	42.9	41.2	43.5	43.0	41.2	33.2	38.7	40.1	41.2	33.8
threads	11.4	10.9	17.0	21.5	15.5	18.3	15.7	18.7	16.2	16.8

オリジナルFFTW vs Intel MKLのラツパ

- ▶ Intel MKLにはFFTWのラツパが用意されているのでFFTWのほとんどのAPIがそのまま使える
- ▶ wisdomファイルのI/Oや`fftw_alloc_*`()はない
- ▶ `fftw_malloc()`はある
- ▶ 現行のMKL version 11.2.3では特にSoA・AoSが遅い
- ▶ 計算速度を求めるならオリジナルのFFTWを使う
- ▶ 64x64x64, padding_y=1, FFTW_PATIENT, Xeon X5650, 6 core x 2 chip, max 3.1 GHz, HT off でGFLOPS値を比較

SoA or AoS in-place or out-of-place structure length	1		SoA				AoS			
	in	out	in	in	out	out	in	in	out	out
FFTW3	42.9	41.2	43.5	43.0	41.2	33.2	38.7	40.1	41.2	33.8
MKL	35.1	29.5	12.8	24.3	10.2	17.2	0.9	0.8	4.9	7.7

NUMA (Non-Uniform Memory Access)

Xeon X5650 (2010), 6 core x 1 or 2 chip, max 3.1 GHz

Xeon E5-2680 v3 (2014), 12 core x 1 or 2 chip, max 3.3 GHz

96x96x96, padding_y=1, HT off, FFTW_PATIENT でGFLOPS値を比較

SoA or AoS in-place or out- of-place structure length	1		SoA				AoS			
	in	out	in	in	out	out	in	in	out	out
	1	1	3	6	3	6	3	6	3	6
X5650 1 chip	25.7	21.7	20.5	20.2	16.8	16.5	18.7	18.1	15.9	14.9
X5650 2 chip	40.1	39.4	38.1	34.2	28.9	27.8	37.9	31.2	29.7	24.7
E5-2680 v3 1	77.3	76.0	79.7	48.0	45.7	34.0	64.4	45.8	47.8	24.8
E5-2680 v3 2	107.9	112.0	117.6	117.6	114.0	63.3	100.1	117.0	104.0	66.7

128x128x128, padding_y=1, HT off, FFTW_PATIENT でGFLOPS値を比較

SoA or AoS	1		SoA				AoS			
	in	out	in	in	out	out	in	in	out	out
X5650 1 chip	26.2	19.5	22.9	22.8	18.2	18.1	17.2	17.8	15.6	15.8
X5650 2 chip	52.7	36.5	40.7	39.5	31.5	31.3	32.9	27.8	26.1	25.3
E5-2680 v3 1	135.9	104.4	75.2	59.0	40.3	44.7	48.1	43.8	36.2	28.3
E5-2680 v3 2	161.9	160.7	152.9	97.0	80.4	69.6	111.8	80.4	76.7	57.1

Simultaneous Multithreading (SMT、同時マルチスレッディング、HT) はonかoffか

- ▶ 配列サイズやシステムによる
- ▶ 128x128x128の実数⇔複素数の3次元FFT
SR16000 (Power7) 3.83 GHz
¼ node = 1 chip, 8 core
SMT off, 8 thread vs. SMT on, 16 thread

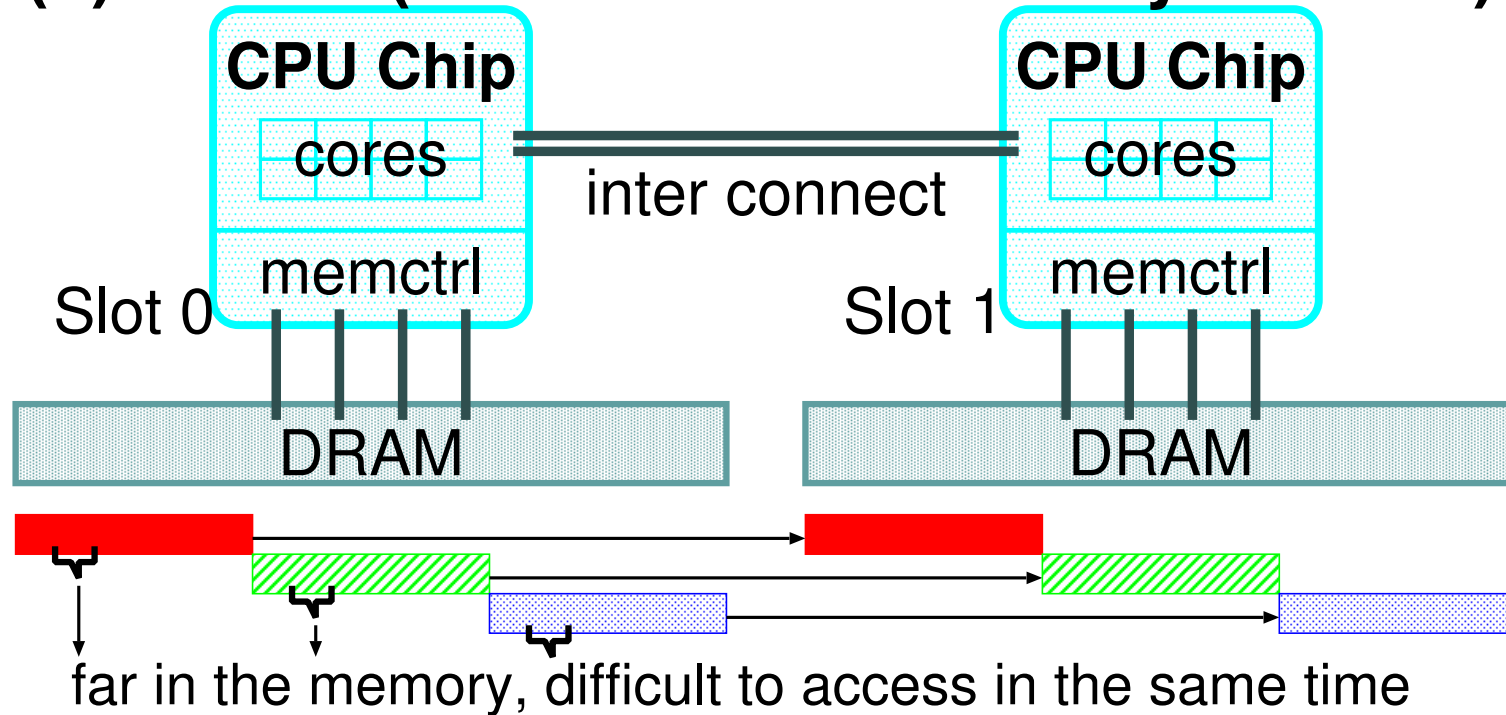
SoA or AoS in-place or out-of-place structure length	1		SoA				AoS			
	in	out	in	in	out	out	in	in	out	out
	1	1	3	6	3	6	3	6	3	6
SMT off 8 th.	46.4	46.9	43.7	42.8	42.5	45.1	34.6	36.1	42.8	42.1
SMT on 16 th.	45.9	45.9	42.9	42.9	42.3	41.8	37.1	36.1	42.3	41.5

単位はGFLOPS。あまりかわらない。

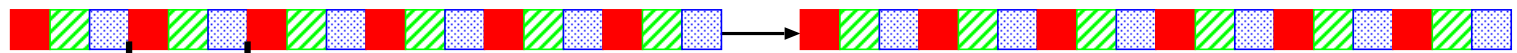
今年 Structure of Array (SoA) から Array of Structure (AoS) に変更した

- ▶ 配列サイズやシステムにもよるが、SR16000では FFTW だけなら計算時間はたいして変わらない
- ▶ 他の部分で AoS にすると SR16000 では高速になる
→ SR16000 に最適化しすぎた
- ▶ Intel 系では SoA にして 1 配列ずつ実行するのが最速かもしれない(旧バージョンではそうしていた)が、コードが汚くなるし、将来の FFTW のバージョンアップで 1 配列の FFT と SoA がほぼ同じ速さになる可能性はある
- ▶ Intel 系でわりと AoS は遅かった...
- ▶ GPGPU (NDIVIA K20X, CUDA 5.5, cuFFT, cuBLAS) でも AoS は遅かった...

(a) NUMA (Non-Uniform Memory Access)



(b) before: SoA $\text{ary} (L_x, L_y, L_z, 3)$



close in the memory, easy to access in the same time

(c) after: AoS $\text{ary} (3, L_x, L_y, L_z)$

(d) padding: $\text{ary} (3, 2 * (L_x / 2 + 1), L_y + 1, L_z)$

for in-place real \leftrightarrow complex FFT

padding to avoid bank conflicts

新旧バージョンを比較

SMT, HTはoff

input file: 64x64x1024.feram, 8,200 MD steps, padding_y=1

feram version	¼ node of SR16000# (Power7) 8 core 3.83 GHz	1 node of SR16000# (Power7) 32 core 3.83 GHz	1 chip of Xeon X5650 6 core 2.66 GHz	2 chip of Xeon X5650 12 core 2.66 GHz	1 chip of Xeon E5-2680 v3 12 core 2.87* GHz	2 chip of Xeon E5-2680 v3 24 core 2.87@ GHz
TDP	250 W	1000 W	95 W	190 W	120 W	240 W
0.22.06	2818 sec	1023 sec	6361 sec	3716 sec	2093 sec	1686 sec
0.23.01	1980 sec	601 sec				
0.23.02	1866 sec	557 sec			2072 sec	1731 sec
0.24.00	1819 sec	553 sec	5663 sec	3179 sec	2050 sec	1650 sec

並列化率が改善

高速化

2011年のSandy Bridge以降並列化率がよくない？

SR16000ではスレッドをコアにバインドするなど工夫が必要

* turbostatコマンドでTurbo Boostの周波数を実測

@ 24 coreで実行中はヒマにしているcoreもある

FFTW: wisdomの利用

- ▶ wisdomファイルを通して、FFTWがplanを作るときに行ったベンチマークの結果の書き出し／読み込みができる
- ▶ S式で書かれている
- ▶ feram_fftw_wisdom: feram の中で使うFFTのベンチマークをして、wisdom_newを出力する

- ▶ FFTW_MEASURE と FFTW_PATIENT で feram_fftw_wisdom を数回づつ実行して 最速のwisdomを使う

FFTW_MEASURE											GFLOPS	
100	3	48	48	960	1	2211840	in	8	3.130	22.341		
100	6	48	48	960	1	2211840	in	8	5.230	26.741		
100	3	48	48	960	1	2211840	out	8	2.490	28.083		
100	6	48	48	960	1	2211840	out	8	4.600	30.403		
FFTW_PATIENT												
100	3	48	48	960	1	2211840	in	8	2.900	24.113		
100	6	48	48	960	1	2211840	in	8	4.800	29.137		
100	3	48	48	960	1	2211840	out	8	2.400	29.137		
100	6	48	48	960	1	2211840	out	8	4.060	34.447		

- ▶ 48x48x960、SR16000の1チップ=1/4ノード、SMT on、MD5万ステップ 9393秒→9091秒 約3%高速化
- ▶ wisdomを読み込むと使われるcodeletが固定される

FFTWのMPI並列化機能

- ▶ flat MPIも, OpenMP+MPIのハイブリッド並列も可能
 - flat MPIの実行効率は5%前後
 - ハイブリッド並列は1~2%前後
- ▶ 1D (or slab) decomposition へのみ対応
- ▶ Fortranの配列 $c(Lx, Ly, Lz)$ ならMPI並列は Lz まで
- ▶ 最後の順序変換 (final transpose、多量の通信を伴う) をoffにもできるが、プログラミングが大変
- ▶ プログラムとベンチマークの例:
https://github.com/t-nissie/fft_check_mpi

後半のまとめ

- ▶ **feram**のFFTにはFFTWライブラリを使っている
- ▶ FFTWはplanを用いるなど特徴がある
- ▶ FFTWをより高速に使うためにはいくつか調節すべきパラメータがある→プログラムのFFT以外の部分の寄与も考慮しながらそれらのパラメータを調節する
 - padding
 - リンクすべきライブラリ
 - NUMA
 - SMT (HT)
 - SoA or AoS
 - wisdomファイル
- ▶ さらにFFTWを使い倒したい→guruやgenfftと検索

補足資料

Xeon X5650 vs Core i7 3770K

FFTはメモリバンド幅が律速; Xeonなどメモリチャンネル数が多いCPUに速い(クロック周波数の高い)メモリを積むべき

Xeon X5650 (2010), 6 core, max 3.06 GHz, HT off, 1 chip, チャンネル数 3
Core i7 3770K (2012), 4 core, max 3.9 GHz, HT on, 1 chip, チャンネル数 2
96x96x96, padding_y=1, FFTW_PATIENT でGFLOPS値を比較

SoA or AoS	1		SoA				AoS			
	in	out	in	in	out	out	in	in	out	out
structure length	1	1	3	6	3	6	3	6	3	6
Xeon 6 core	25.7	21.7	20.5	20.2	16.8	16.5	18.7	18.1	15.9	14.9
Xeon 4 core	18.3	16.1	15.0	14.8	13.3	13.4	13.5	12.8	11.9	12.0
Core i7	16.4	14.7	13.5	13.4	12.9	12.8	6.2	6.2	13.1	13.1

SoAからAoSに変更したら GPU (CUDA#, cuFFT, cuBLAS, Fortranだけで) だとFFTが2倍遅くなってしまった with K20X*

- ▶ gfortran -fopenmp -ffree-form -c cufft_module.f
(feramに同梱予定、cuFFTライブラリのAPIへのinterfaceが書いてある)
- ▶ gfortran -fopenmp -ffree-form -c cufft_check.F
- ▶ gfortran -fopenmp -o cufft_check cufft_check.o cufft_module.o
-L/usr/local/cuda/lib64 -lcublas -lcufft -lcudart
- ▶ ./cufft_check 100 64 64 1024
100 64 64 1024 4194304 0.551 秒 83.7 GFLOPS
100 64 64 1024 4194304 3.056 秒 45.3 GFLOPS ←遅い
- ▶ ./cufft_check 100 128 128 1024
100 128 128 1024 16777216 2.114 秒 95.2 GFLOPS
100 128 128 1024 16777216 11.891 秒 50.8 GFLOPS ←遅い

CUDA 5.5を使用。CUDA 7でも速くはなっていない。

* K20XのTDPは235 W。

crd2txt.exeのその後

- ▶ crd2txt.exeはWindows 3.1に付属していたカードファイルアプリcardfile.exeのファイルフォーマットをテキストファイルに変換するプログラム
- ▶ 1995年に公開
- ▶ 現在はEvernote export format (.enex) に変換するプログラムを公開している

<https://gist.github.com/t-nissie/9771048>